

Heterocyclische β -Enaminoester, 31¹⁾

Neue 6:7-, 6:8- und 5:6:7-Kombinationen heterokondensierter Pyrimidine aus den Iminophosphoranen heterocyclischer β -Enaminoester. – Stabile heterocyclische Ylide

*Heinrich Wamhoff** und *Günter Haffmanns²⁾*

Institut für Organische Chemie und Biochemie der Universität Bonn,
Gerhard-Domagk-Str. 1, D-5300 Bonn 1

Eingegangen am 18. April 1983

Die (5-Azolylimino)triphenylphosphorane **10a–d** zeigen mit Acetylenedicarbonsäureestern keine Tendenz zur Cycloaddition, während die (2-Thienylimino)triphenylphosphorane **8a, b** zu den stabilen Yilden **13a, b** reagieren. Mit Phenylisocyanat ergeben die Iminophosphorane **16a–m**, **17** und **18a, b** die Carbodiimide **19a–m**, **20** und **21a, b**; **10b–d** liefern statt dessen die *O*-Ethylisoureas **24b–d**. In wäßrigem Ethanol werden **19a, b, e, f, h** in 6:7-Bicyclen, nämlich in die Oxepino[2,3-*d*]pyrimidine **25a, b, e, f, h** umgewandelt. Mit Isopropylamin bilden sich die 2-Isopropylamino-6:7-Bicyclen **31a–c, e–h** und im Fall des Thiocins **21a** der 6:8-Bicyclus **34**. Die Salze **33f, g** entstehen durch Einwirkung von wäßrigem Diethylamin auf **19f, g** bzw. auf **25f**. 2-Aminoethanol, 3-Aminopropanol und Ethylenediamin ergeben mit **19a, b, f, l** analog die 2-Hydroxy- und 2-Aminoalkyl-6:7-Bicyclen **36a–f**; mit Hydrazin werden die 2-Hydrazinoxepino- und -thiepino[2,3-*d*]pyrimidine **38a–h** und **39** erhalten, die mit funktionellen C₁-Bausteinen zu den 5:6:7-Tricyclen **43a–d**, **45'a, b** führen.

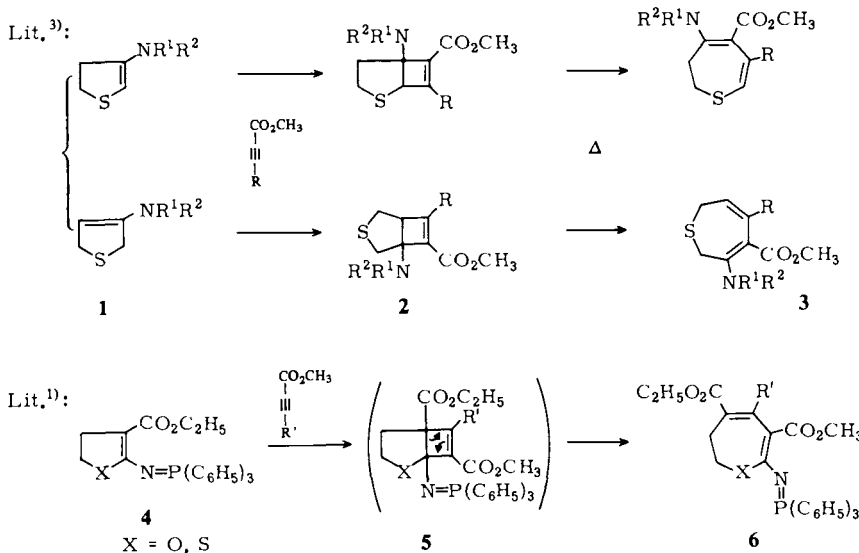
Heterocyclic β -Enamino Esters, 31¹⁾

Novel 6:7-, 6:8-, and 5:6:7-Combinations of Heterocondensed Pyrimidines from Iminophosphoranes of Heterocyclic β -Enamino Esters. – Stable Heterocyclic Ylides

With acetylenic esters the (5-azolylimino)triphenylphosphoranes **10a–d** do not show any cycloaddition tendency, while the (2-thienylimino)triphenylphosphoranes **8a, b** yield the stable ylids **13a, b**. By treatment with phenyl isocyanate the iminophosphoranes **16a–m**, **17**, and **18a, b** afford the carbodiimides **19a–m**, **20**, and **21a, b**; however, **10b–d** give the *O*-ethylisoureas **24b–d**. **19a, b, e, f, h** are transformed in aqueous ethanol into 6:7-bicycles, namely into oxepino[2,3-*d*]pyrimidines **25a, b, e, f, h**. With isopropylamine the 2-isopropylamino-6:7-bicycles **31a–c, e–h** are formed analogously, while in the case of thiocin **21a** the 6:8-bicycle **34** is obtained. The salts **33f, g** are formed by treating **19f, g** or **25f** with aqueous diethylamine. Accordingly, 2-aminoethanol, 3-aminopropanol, and ethylenediamine react with **19a, b, f, l** to afford the 2-hydroxy- and 2-aminoalkyl-6:7-bicycles **36a–f**; by treatment with hydrazine the 2-hydrazinoxepino- and -thiepino[2,3-*d*]pyrimidines **38a–h** and **39** are obtained, which are converted with functional C₁-units into 5:6:7-tricycles **43a–d**, **45'a, b**.

Kürzlich haben wir über die Synthese von Dihydrooxepinen, Dihydrothiepinen und Dihydrothiocinen aus den Iminophosphoranen heterocyclischer β -Enaminoester und β -Enaminonitrile durch eine Cycloadditions-Ringerweiterungs-Sequenz berichtet¹⁾.

Dieser Vorstoß in den Bereich von Heterocyclen mittlerer Ringgröße wurde von *Reinhoudt* und *Kouwenhoven*³⁾ erstmals an Gemischen partiell hydrierter 3-Enaminoderivate des Tetrahydro-3-thiophenons (z. B. **1**) sowie des 1-Thia-4-cyclohexanons verifiziert. Dieser Reaktionstyp wurde jetzt von uns erstmals auf push-pull-substituierte⁴⁾ 2-Aminoheterocyclen **4** übertragen. Signifikante Unterschiede sind dabei, daß im Fall von **4** die primär anzunehmenden [2 + 2]-Addukte **5** nicht faßbar sind und daß die polare [2 + 2]-Cycloaddition mit inverser Regioselektivität stattfindet.

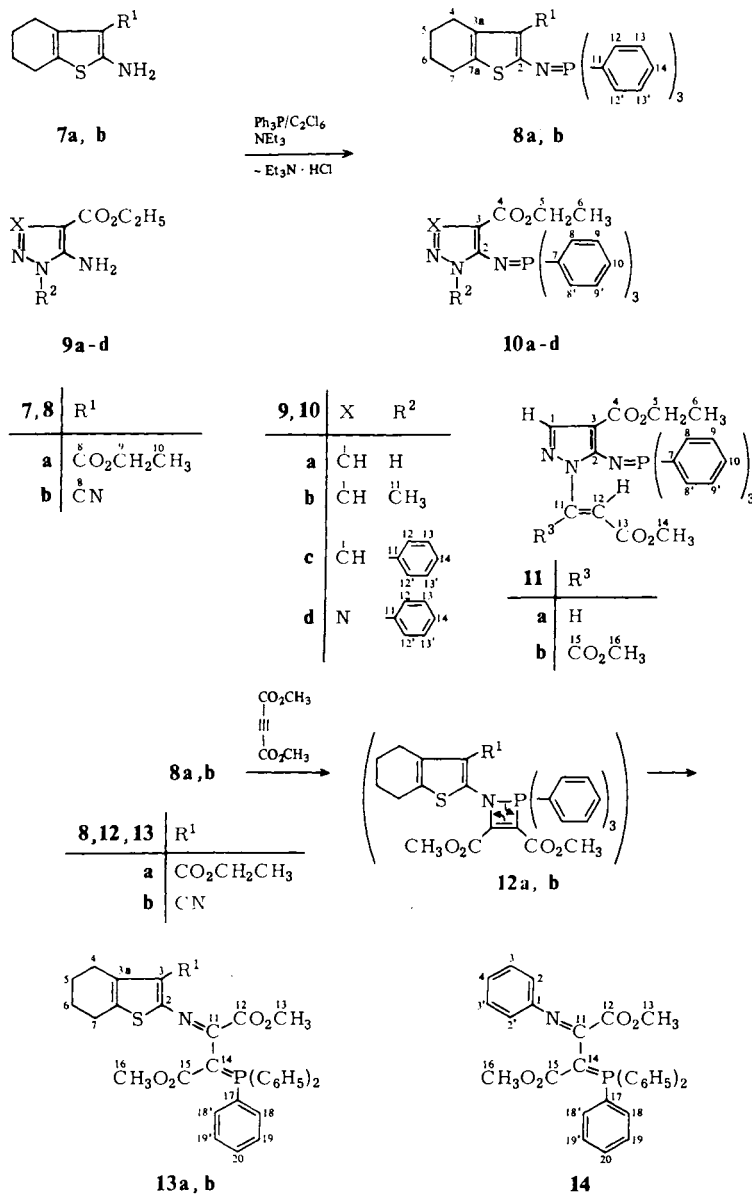


Verantwortlich dafür ist der stark polarisierende Effekt der 2-Amino- bzw. 2-Iminophosphorgruppe im Zusammenwirken mit der 3-ständigen Acceptorgruppe. Im Fall der gebildeten 7-Ringe (z. B. **6**) beobachtet man als Folge dieses Substitutions- und Polarisationsmusters eine charakteristische, starke Alternanz der ¹³C-NMR-Signale der Ringatome C-2 bis C-5⁵⁾. Ferner wird als Folge dieses push-pull-Effektes die Ringöffnung des Cyclobuten-Adduktes **5** – via dipolare Zwischenstufe – dermaßen erleichtert, daß die von *Reinhoudt* und *Kouwenhoven* noch gut faßbaren Addukte **2** in unserem Fall sogleich unter Ringöffnung zum 7-gliedrigen Ring **6** weiterreagieren.

Nachdem später die Reaktion von 3-Pyrrolidinothiophenen mit Acetyldicarbonsäureestern studiert worden ist, wobei bei $-30^{\circ}C$ 2-Thiabicyclo[3.2.0]heptadiene entstehen, die nach Ringerweiterung in Thiepine und unter langsamer S-Extrusion in Benzolderivate umgewandelt werden⁶⁾, haben wir vornehmlich unter dem Aspekt einer besseren Stabilisierung des erwarteten Thiepins zunächst untersucht, ob entsprechend push-pull-substituierte Derivate aus der Thiophen-, Pyrazol- und 1,2,3-Triazolreihe dieser Reaktionssequenz zugänglich sind.

A. Heteroaromatische Iminotriphenylphosphorane

Die Thiophene **7a, b** und die Azole **9a – d** reagieren im System Triphenylphosphan/Hexachlorethan/Triethylamin⁷⁾ in guten bis sehr guten Ausbeuten zu den erwarteten Iminophosphoranen **8a, b** und **10a – d**.



Die Pyrazole **10b – d** zeigen gegenüber reaktiven Dreifachbindungen keine Reaktion; **10a** reagiert an der NH-Gruppe, wobei die Additionsprodukte **11a, b** entstehen. Durch Vergleich mit analogen Additionsprodukten und aufgrund des Auftretens nur eines Vinylsignals bei $\delta = 5.87$ kann man für **11b** ein Vorliegen in der Z-Form postulieren; **11a** weist eine vicinale Kopplungskonstante $J = 13.8$ Hz auf und besitzt entsprechend die Konstitution eines *trans*-Additionsproduktes (siehe Tabb. 1 und 2).

Tab. 1. UV-, IR- und ^1H -NMR-Daten der Iminophosphorane **8a, b, 10a – d** und der Addukte **11a, b^a**

Verb.	UV (CHCl_3) λ_{max} [nm] (lg ε)	IR [cm^{-1}] (KBr)			^1H -NMR (Solvens, CDCl_3 , δ-Werte, J [Hz] in Klammern)						
		C≡N	C=O	C=C	4-H	5-H	6-H	7-H	9-H	10-H	12-H
8a	313 (3.93) 263 (3.93) 255 (3.95)	—	1655	1585	2.34 m	1.60 m	1.66 m	2.70 m	4.29 q (7.9)	1.34 t (7.0)	7.84 m
8b	372 (4.04) 275 (3.79)	2190	—	1580	2.33 m	1.70 m	1.70 m	2.54 m	—	—	7.15 – 7.95 m
					1-H	5-H	6-H		Aromaten		R^2
10a	267 (4.01) 262 (4.01) 264 (4.00)	3320 (NH)	1685	1585	7.75 s	4.39 q (7.3)	1.24 (7.3)	—	7.33 – 7.91 m	—	b)
10b	274 (3.90) 267 (3.94)	—	1680	1585	7.47 s	3.69 q (7.3)	0.93 t (7.3)	—	7.20 – 7.84 m	—	3.63 s
10c	295 (3.83) 273 (4.08) 267 (4.08)	—	1680	1590	7.78 s	3.70 q (7.0)	0.96 (7.0)	—	7.18 – 7.78 m	—	7.18 – 7.78 m
10d	273 (4.08) 267 (4.09) 262 (4.01)	—	1700	1595	—	3.91 q (7.3)	1.05 t (7.3)	—	7.28 – 7.82 m	—	7.28 – 7.82 m
					P=N	1-H	5-H	6-H	8-H	9/10-H	11-H
											12-H
											14-H
											16-H
11a	348 (4.37) 273 (4.22) 267 (4.26)	—	1700	1585	1330	7.49 s (7.3)	1.40 t (7.3)	7.71 – 8.02 m	7.27 – 7.67 m (13.8)	7.34 d (13.8)	5.41 d (13.8)
11b	363 (4.24) 273 (4.10) 267 (4.12)	—	1700	1580	1355	7.48 s (7.3)	4.31 q (7.3)	7.67 – 8.04 m	7.36 – 7.58 m (7.3)	—	5.87 s (7.3)

a) Die Bezifferung der Atome stimmt nicht in allen Fällen mit den IUPAC-Regeln überein, siehe das entsprechende Formelbild. — b) Überlagert.

Tab. 2. ^{13}C -NMR-Daten der Iminophosphorane **8a, b, 10a – d** und der Addukte **11a, b** (Solvens CDCl_3 , δ -Werte, J [Hz] in Klammern)^{a)}

Verb.	C-1	C-2	C-3	C-3a	C-4	C-5	C-6	C-7	C-7a
8a	–	160.9 d (4.3)	114.1 d (17.7)	132.2 s	24.8 t	23.0 t	23.1 t	26.2 t	119.1 s
8b	–	164.3 d (4.9)	94.6 d (21.4)	131.5 s	24.3 t	22.3 t	23.3 t	24.3 t	119.7 s
10a	140.9 d	151.8 s	101.2 d (10.0)	–	164.2 s	58.6 t	14.3 q	129.4 d (100.1)	–
10b	140.0 d	149.9 d (7.9)	99.7 d (2.4)	–	163.5 s	58.0 t	14.1 q	131.6 d (105.0)	–
10c	141.8 d	137.3 d	100.0 s	–	163.7 s	58.3 t	14.3 q	128.8 d (103.7)	–
10d	–	147.7 d (11.0)	123.1 d (24.0)	–	162.0 s	59.3 t	14.2 q	130.7 d (106)	–
11a	138.3 d	159.3 d (4.9)	109.8 d (18.9)	–	162.4 s	58.7 t	13.6 q	128.5 d (100.7)	–
11b	142.7 d	160.0 d (4.9)	111.6 d (20.0)	–	163.3 s	59.8 t	14.3 q	129.2 d (100.7)	–
Verb.	C-8	C-9	C-10	C-11	C-12	C-13	C-14	C-15	C-16
8a	165.4 d (1.8)	58.6 t / 14.5 q	129.3 d (98.9)	132.9 d (9.8)	128.5 d (12.2)	132.0 d (3.7)	–	–	–
8b	128.1 d (1.2)	–	–	128.1 d (102)	132.9 d (10.4)	128.8 d (12.8)	131.4 d (3.0)	–	–
10a	132.4 dd (10.3)	128.5 dd (12.8)	132.1 dd (3.1)	–	–	–	–	–	–
10b	132.3 dd (10.4)	128.2 dd (12.8)	131.5 dd (3.1)	34.3 q	–	–	–	–	–
10c	132.5 dd (10.4)	128.1 dd (12.2)	131.5 d	134.2 s	125.3 d	128.2 d	128.3 d	–	–
10d	132.4 dd (9.8)	128.3 dd (12.2)	131.7 dd	136.8 s	125.7 s	128.5 d	127.7 d	–	–
11a	132.3 dd (10.4)	127.5 dd (12.2)	131.1 dd (3.7)	136.7 d	102.3 d	166.5 s	50.4 q	–	–
11b	133.1 dd (9.8)	128.3 dd (12.8)	131.8 dd (3.0)	133.1 s	101.2 d	165.9 s	51.5 q	163.1 s	53.0 q

^{a)} Siehe Fußnote^{a)} in Tab. 1.

Die Iminophosphorane **8a, b** reagieren mit Acetylendicarbonsäure-dimethylester in Acetonitril zu einer tiefroten Lösung, aus der hellgelbe 1:1-Addukte isoliert werden, die abweichend von unseren früheren Beobachtungen¹⁾ nicht mit der Konstitution von 6,7,8,9-Tetrahydro-1-benzothiepinen vereinbar sind. Aus den spektroskopischen Daten folgt vielmehr, daß eine Cycloaddition an die Iminophosphorangruppe (**12a, b**) mit nachfolgender Ringspaltung zu den stabilen heterocyclischen Yliden **13a, b** stattgefunden hat.

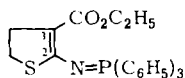
Durch Einbeziehung der Enaminocarbonyl- bzw. Enaminonitril-Gruppierung in die Resonanz des Heteroaromatens ist die für eine erfolgreiche Cycloaddition notwendige

Tab. 3. ^{13}C -NMR-Daten von **13a, b** und **14** (Solvens CDCl_3 , δ -Werte; Multiplicitäten in Relation zu ^1H „off resonance“-Spektren; $J_{\text{C}-\text{P}}$ [Hz] in Klammern)^{a)}

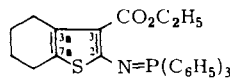
	C-1	C-2	C-3	C-3a	C-4	C-5	C-6	C-7	C-7a	C-8	C-9
13a	—	156.0 s	116.8 s	133.4 s	24.5 t	22.5 t	22.9 t	26.0 t	125.7 s	163.8 s	39.2 t
13b	—	157.1 s	100.2 s	132.8 s	23.9 t	22.0 t	23.0 t	24.4 t	127.1 s	115.2 s	—
14	151.3 s	120.9 d	128.6 d	—	122.9 d	—	—	—	—	—	—
	C-10	C-11	C-12	C-13	C-14	C-15	C-16	C-17	C-18	C-19	C-20
13a	14.3 q	161.4 d (6.7)	167.8 d (14.6)	51.5 q (118.4)	61.4 d (118.4)	165.7 d (12.8)	49.7 q (12.8)	125.4 d (94.0)	133.8 dd (9.8)	127.9 dd (12.8)	131.9 dd (3.0)
13b	—	160.1 d	167.6 d	52.3 q (116.6)	65.4 d (116.6)	166.8 d (12.8)	50.0 q (12.8)	124.9 d (94.6)	133.6 dd (9.8)	128.6 dd (12.8)	132.0 dd (3.0)
14	—	160.3 d (6.9)	163.4 d (14.9)	51.4 q (119.6)	59.0 d (119.6)	167.3 d (12.6)	49.9 q (12.6)	126.9 dd (93.8)	133.7 dd (9.7)	128.3 dd (12.6)	131.7 dd (2.9)

a) Siehe Fußnote^{a)} in Tab. 1.

Polarisierung so weit zurückgedrängt, daß sich der Acetylenester an die P = N-Gruppierung addiert; ein Vergleich der ^{13}C -NMR-Verschiebungen von **8a** mit einem entsprechenden 4,5-Dihydrothiophen **15**¹¹⁾ erhärtet diese Annahme, indem besonders für C-3 eine Verschiebungsdifferenz von 13 ppm resultiert.

**15**

C - 2: δ = 163,37
C - 3: δ = 101,44

**8a**

C - 2: δ = 160,89
C - 3: δ = 114,06
C - 3a: δ = 132,19
C - 7a: δ = 119,09

Die Ylid-Struktur von **13a, b** folgt aus den spektroskopischen Daten, insbesondere durch ^{13}C -NMR. Durch „Inverse Gated Decoupling“-Technik konnte für **13a** ein Resonanzsignal des ylidischen C-14⁸⁾ bei δ = 61,37 ($J_{\text{C}-\text{P}} = 118,4$ Hz), für **13b** bei δ = 65,38 ($J_{\text{C}-\text{P}} = 116,6$ Hz) (siehe Tab. 3) ermittelt werden. Diese Daten stimmen ausgezeichnet mit dem ^{13}C -NMR-Spektrum des nach Cookson et al.⁹⁾ dargestellten aromatischen Analogons **14** überein.

8a, b reagieren nicht mit Propiolsäure-methylester, was in Übereinstimmung mit früheren Beobachtungen⁹⁾ ist, daß nämlich die Cycloaddition an die P = N-Doppelbindung stark von elektronischen Effekten, wie z. B. elektronenziehenden Gruppen am N-Atom, abhängig ist.

B. Folgereaktionen der Iminotriphenylphosphorngruppe: Carbodiimide und kondensierte Pyrimidine

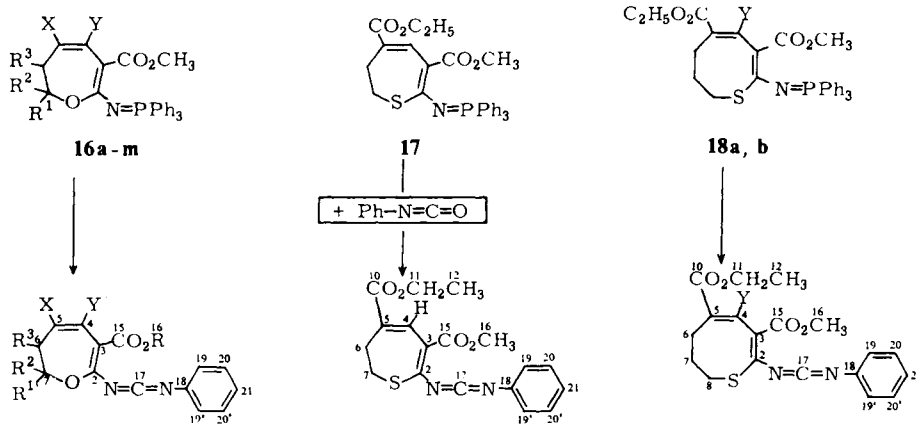
Als Schutzgruppe mit latenter Funktionalität ist die 2-ständige Iminotriphenylphosphorngruppe jedoch nicht nur durch Polarisierung des Enaminocarbonyl-Chromophors für die Erleichterung von [2 + 2]-Cycloaddition und nachfolgende Ringerweiterungsreaktion maßgeblich beteiligt, sondern lässt sich vor oder nach der Ringerweiterung mit reaktiven Dreifachbindungen auf vielfältige Weise selbst weiter umsetzen. So reagieren aromatische und aliphatische Iminophosphorane bekanntlich¹⁰⁾ mit Sauerstoffverbindungen unter Phosphanoxid-Abspaltung; mit Isocyanaten entstehen auf diese Weise Carbodiimide¹¹⁾.

Die Iminophosphorane **16a – m**, **17** und **18a, b** ergeben mit dem reaktiven¹²⁾ Phenyl-isocyanat nach mehrstündigem Erwärmen in Benzol die Carbodiimide **19a – m**, **20** und **21a, b**.

Für sämtliche Produkte werden korrekte Elementaranalysen und massenspektroskopisch die berechneten Molmassen erhalten; dennoch fehlt in den IR-Spektren (Tab. 4) im Bereich von ca. 2150 cm^{-1} die typische Carbodiimid-Schwingung. Dieses Verhalten erklären wir durch eine starke Resonanzbeteiligung der Carbodiimidgruppierung am Enaminocarbonyl-System. Als Folge davon ist bei **19 – 21** das typische Heterocumulen-System zugunsten einer Zahl dipolarer Grenzstrukturen entartet.

19 – 21 zeigen dementsprechend im ^{13}C -NMR-Spektrum (Tab. 5) für das Carbodiimid-C-17 einen δ -Wert von ca. 156; das Resonanzsignal ist wegen seiner geringen Intensität und der typischen Linienverbreiterung durch die benachbarten N-Atome leicht zu identifizieren. Durch die Einbeziehung in die Enaminocarbonyl-Resonanz ist dieser δ -Wert zu deutlich tieferem Feld ver-

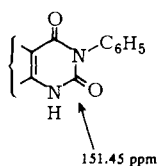
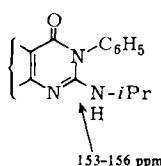
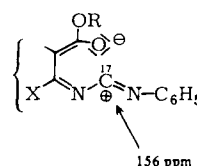
schoben (üblicher Wert: ca. 140 ppm¹³); nicht vereinbar ist diese Signallage jedoch mit einem Cyanamid-C-Atom, wobei die primär entstandenen Carbodiimide thermisch in Cyanamide umgelagert worden wären (Cyanamid-Verschiebung: 117 ppm¹⁴). Ein Vergleich der für **19 – 21** gefundenen Carbodiimid-Verschiebung von ca. 156 ppm mit dem C-2-Signal der Pyrimidindione **22** sowie mit den später beschriebenen 2-(Isopropylamino)pyrimidinen **31a – c, e – h** erklärt hingegen zwanglos die Tieffeldverschiebung für das Carbodiimid-C-17.



16, 19	R ¹	R ²	R ³	X	Y
a	CH ₃	CH ₃	H	¹⁰ CO ₂ ¹¹ CH ₂ ¹² CH ₃	¹³ CO ₂ ¹⁴ CH ₃
b	CH ₃	H	CH ₃	¹⁰ CO ₂ ¹¹ CH ₂ ¹² CH ₃	¹³ CO ₂ ¹⁴ CH ₃
c	CH ₃	H	H	¹⁰ CO ₂ ¹¹ CH ₂ ¹² CH ₃	¹³ CO ₂ ¹⁴ CH ₃
d	H	H	H	¹⁰ CO ₂ ¹¹ CH ₂ ¹² CH ₃	¹³ CO ₂ ¹⁴ CH ₃
e	CH ₃	CH ₃	H	¹⁰ CO ₂ ¹¹ CH ₂ ¹² CH ₃	H
f	CH ₃	H	CH ₃	¹⁰ CO ₂ ¹¹ CH ₂ ¹² CH ₃	H
g	CH ₃	H	H	¹⁰ CO ₂ ¹¹ CH ₂ ¹² CH ₃	H

16, 19	R ¹	R ²	R ³	X	Y
h	CH ₃	CH ₃	H	¹⁰ CN	¹³ CO ₂ ¹⁴ CH ₃
i	CH ₃	H	CH ₃	¹⁰ CN	¹³ CO ₂ ¹⁴ CH ₃
j	CH ₃	H	H	¹⁰ CN	¹³ CO ₂ ¹⁴ CH ₃
k	CH ₃	CH ₃	H	¹⁰ CN	H
l	CH ₃	H	CH ₃	¹⁰ CN	H
m	CH ₃	H	H	¹⁰ CN	H

18, 21	Y
a	H
b	¹¹ CO ₂ ¹⁴ CH ₃

**22****31a-c, e-h****19-21**

Tab. 4. UV-, IR- und $^1\text{H-NMR}$ -Daten der Verbindungen 19a–m, 20, 21a, b und 24b – d^a)

	UV (CHCl_3) Verb. λ_{max} [nm] (lg ε)	IR (KBr) [cm^{-1}] $\text{C}\equiv\text{N}$ $\text{C}=\text{O}$	IR (KBr) [cm^{-1}] $\text{C}=\text{N}$ $\text{C}=\text{C}$	4-H	6-H	7-H 8-H	$^1\text{H-NMR}$ (Solvens CDCl_3 , δ-Werte, J [Hz] in Klammern)	9-H 11-H 12-H	14-H 16-H	19-H	20/21-H
19a	317 (4.07) 267 (3.62)	1725 1690 1675	1600 1590 1575	—	2.79 s	—	1.53 s 4.67 q (7.0)	1.29 d (6.4)	1.20 d (7.0)	4.25 q (7.1)	1.30 t (7.1)
19b	315 (4.10) 264 (3.81)	1735 1715 1670	1605 1600 1585	—	3.03 q (7.0)	4.67 q (6.4)	—	—	4.20 q (7.3)	3.71 s (7.3)	3.93 s (7.3)
19c	315 (4.13) 265 (3.77)	1725 1705 1675	1615 1595 1570	—	2.81 m	5.0 m	1.49 d (6.0)	—	4.22 q (7.3)	1.29 t (7.3)	3.73 s (7.3)
19d	317 (4.13) 265 (3.77)	1720 1695	1600 1580	—	2.97 t (3.0)	4.71 t (3.0)	—	—	4.26 q (7.1)	1.30 t (7.1)	3.74 s (7.1)
19e	330 (4.27) 263 (3.86)	1680 1665 1655	1620 1595 1585	8.12 s	2.89 s	—	1.48 s 4.44 q (7.0)	1.48 s 4.12 d (7.0)	1.48 s 1.59 d (7.0)	4.31 q (7.3)	1.29 t (7.3)
19f	350 (4.29) 270 (4.01)	1685 1675	1620 1600	8.03 s	3.23 q (7.0)	4.44 q (7.0)	—	4.18 q 1.12 d (7.0)	4.18 q 1.59 d (7.0)	—	3.96 s (7.3)
19g	333 (3.96) 267 (3.87)	1680 1667	1625 1595	8.03 s	2.92 m	4.51 m	—	4.17 q 1.58 d (7.0)	4.17 q 1.28 t (7.0)	—	3.92 s (7.3)
19h	323 (4.22) 267 (4.07)	2200 1725 1650 1670	1650 1595 1580	—	2.65 s	—	1.55 s —	—	—	3.81 s —	3.91 s —
19i	330 (4.30)	2200	—	—	2.91 q (7.3)	4.73 q (6.3)	—	1.72 d (6.3)	1.31 d (7.3)	—	—
19j	323 (4.33) 267 (3.83) 260 (3.84)	2200 1725 1650 1670	1600 1585	—	2.81 m	4.81 m	1.56 d (6.0)	—	—	3.83 s —	3.93 s —
										7.17 m	7.47 m
										7.13 m	7.47 m

Tab. 4 (Fortsetzung)

		¹ H-NMR (Solvens CDCl ₃ , δ-Werte, J [Hz] in Klammern)															
		UV (CHCl ₃)	IR (KBr) [cm ⁻¹]	C≡N	C=O	C=C	4-H	6-H	7-H	8-H	9-H	11-H	12-H	14-H	16-H	19-H	20/21-H
19k	275 (3.10) 267 (3.71)	2200 1677	1615 1575	1595 1575	7.68 s —	2.72 m —	—	1.74 s —	1.74 s —	—	—	—	—	1.22 t 4.43 q (7.3)	7.20 m 7.42 m		
19l	333 (4.24) 263 (3.89)	2200 1685	1625 1585	1605 1585	7.37 s (7.0)	2.73 q (6.6)	4.52 q (6.6)	1.52 d (6.6)	1.27 d (7.0)	—	—	—	—	1.22 t 4.44 q (7.3)	7.18 m 7.49 m		
19m	332 (4.15) 267 (3.84)	2200 1670	1620 1580	1595 1580	7.91 s —	2.44 m —	4.28 m —	1.84 d (6.4)	—	—	—	—	—	3.76 s (7.3)	7.15 m 7.47 m		
20	350 (4.02) 267 (4.28)	1685 1665	1620 1565	1595 1565	8.07 s —	3.17 s —	3.17 s —	—	—	4.22 q (7.3)	1.27 t (7.3)	—	—	3.90 s (7.3)	7.17 m 7.42 m		
21a	335 (4.02) 263 (4.32)	1685 1665	1625 1570	1590 1570	7.80 s —	2.91 m —	1.76 m —	3.26 m —	—	4.19 q (7.2)	1.27 t (7.2)	—	—	3.90 s (7.2)	7.18 m 7.44 m		
21b	313 (4.01) 257 (4.37)	1710 1660	1630 1565	1590 1565	— —	2.60 m —	1.91 m —	2.82 m —	—	4.27 q (7.2)	1.27 t (7.2)	3.68 s (7.2)	3.89 s (7.2)	7.18 m 7.44 m			
	NH	C=O	C=N	C=C	1-H	5-H	6-H	8-H	9-H	Aromaten-H	14-H	NH					
24b	265 (4.00)	3210	1710	1645	1595	7.82 s	4.18 q	1.40 t	4.67 q (7.3)	1.28 t (7.3)	6.82 – 7.78 m	3.64 s (7.3)	7.11 s				
24c	270 (4.22)	3310	1685	1635	1600	7.93 s	4.22 q (7.3)	1.33 t (7.3)	4.35 q (7.3)	1.26 t (7.3)	7.00 – 7.75 m	—	6.51 s				
24d	293 (4.19)	3330	1695	1650	1595	—	4.19 q (7.3)	1.33 t (7.3)	4.26 q (7.3)	1.14 t (7.3)	7.02 – 7.64 m	—	7.89 s				

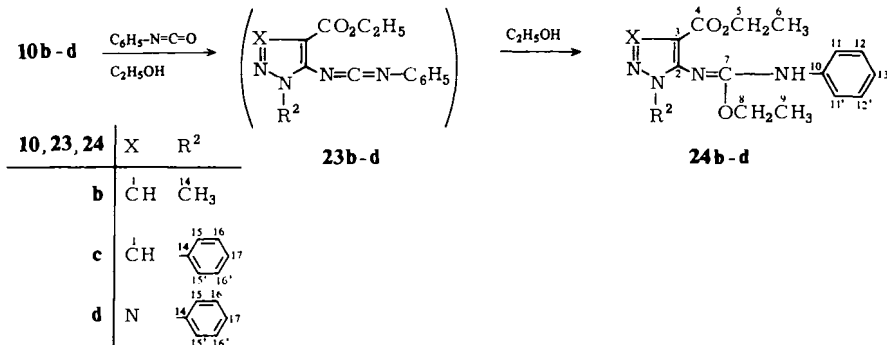
a) Siehe Fußnote^{a)} in Tab. 1.

Tab. 5. ^{13}C -NMR-Daten der Verbindungen **19a – m**, **20**, **21a, b** und **24b – d** (Solvens CDCl_3 , δ -Werte)^{a)}

Verb.	C-2	C-3	C-4	C-5	C-6	C-7	C-8 C-9	C-10	C-11	C-12
19a	162.5 s	99.9 s	136.7 s	133.7 s	40.5 t	96.7 s	23.3 q 19.3 q 11.3 q	167.0 q	61.3 t	13.8 q
19b	163.0 s	95.5 s	137.5 s	133.5 s	41.3 d	80.9 d	—	168.1 s	61.1 t	13.8 q
19c	162.8 s	98.0 s	135.7 s	133.7 s	36.1 t	85.4 d	21.7 q	167.4 s	61.3 t	13.8 q
19d	166.7 s	97.4 s	135.0 s	133.7 s	30.9 t	75.5 t	—	167.6 s	61.3 t	13.8 q
19e	164.1 s	97.5 s	134.4 d	123.8 s	40.3 t	81.2 s	27.3 q	167.7 s	60.6 t	14.1 q
19f	164.2 s	96.5 s	134.4 d	132.9 s	39.8 d	79.4 d	19.8 q 12.6 q	167.8 s	60.5 t	14.1 q
19g	164.2 s	97.0 s	134.0 d	125.6 s	37.1 d	77.2 d	21.2 q	167.9 s	60.6 t	14.0 q
19h	162.3 s	97.2 s	144.1 s	110.3 s	42.6 t	90.9 s	28.1 q	117.9 s	—	—
19i	162.5 s	95.9 s	142.2 s	114.7 s	41.4 d	82.5 d	17.8 q 13.0 q	117.1 s	—	—
19j	162.6 s	96.3 s	143.5 s	110.3 s	39.0 t	80.9 d	21.3 q	117.9 s	—	—
19k	163.3 s	97.9 s	137.0 d	103.6 s	43.4 t	80.1 s	24.7 q	121.0 s	—	—
19l	163.5 s	97.1	134.2 d	112.7 s	43.1 t	78.6 d	18.3 q 12.9 q	120.5 s	—	—
19m	166.3 s	105.6 s	135.9 d	120.5 s	39.9 t	76.3 d	20.9 q	120.5 s	—	—
20	162.6 s	112.9 s	134.4 d	125.6 s	31.5 t	31.8 t	—	169.9 s	61.0 t	14.3 q
21a	161.7 s	111.0 s	134.0 d	128.7 s	25.0 t	25.6 t	29.1 t	165.2 s	60.6 t	14.0 q
21b	161.4 s	111.1 s	139.9 s	128.9 s	28.9 t	22.6 t	28.9 t	168.4 s	61.1 t	13.9 q
Verb.	C-13	C-14	C-15	C-16	C-17	C-18	C-19	C-20	C-21	
19a	166.8 s	52.1 q	167.0 s	56.1 q	156.1 s	131.7 s	127.9 d	129.2 d	129.0 d	
19b	166.9 s	52.0 q	167.9 s	56.0 q	155.2 s	131.0 s	127.9 d	129.2 d	128.9 d	
19c	166.8 s	52.1 q	166.9 s	56.1 q	155.9 s	131.7 s	127.8 d	129.2 d	129.0 d	
19d	166.7 s	52.2 q	167.2 s	56.1 q	155.7 s	133.4 s	127.9 d	129.2 d	129.0 d	
19e	—	—	165.9 s	55.9 q	155.3 s	131.5 s	127.9 d	129.2 d	128.9 d	
19f	—	—	167.1 s	56.1 q	155.2 s	129.0 s	127.8 d	128.9 d	129.3 d	
19g	—	—	167.4 s	56.0 q	155.3 s	130.4 s	127.8 d	129.3 d	129.0 d	
19h	165.1 s	52.5 q	166.2 s	56.3 q	156.4 s	133.4 s	127.6 d	129.3 d	129.1 d	
19i	167.5 s	52.7 q	166.5 s	56.4 q	156.2 q	133.4 s	127.7 d	129.3 d	129.2 d	
19j	167.1 s	52.8 q	166.9 s	56.4 q	156.3 q	133.4 s	127.8 d	129.4 d	129.3 d	
19k	—	—	166.2 s	65.5 t 13.7 q	155.8 s	134.0 s	127.7 d	129.2 d	129.0 d	
19l	—	—	168.3 s	65.8 t 13.7 q	155.4 s	129.1 s	127.8 d	129.3 d	128.3 d	
19m	—	—	168.1 s	56.3 q	155.8 s	134.0 s	127.7 d	129.3 d	129.1 d	
20	—	—	168.1 s	56.2 q	152.8 s	130.8 s	128.0 d	129.5 d	129.2 d	
21a	—	—	166.6 s	55.8 q	152.6 s	132.6 s	127.8 d	129.2 d	128.9 d	
21b	165.5 s	52.1 q	166.8 s	55.9 q	153.0 s	133.6 s	127.8 d	129.1 d	127.8 d	
Verb.	C-1	C-2	C-3	C-4	C-5	C-6	C-7	C-8	C-9	
24b	140.8 d	153.2 s	101.5 s	163.4 s	59.6 t	14.2 q	147.9 s	68.8 t	14.2 q	
24c	142.2 d	153.1 s	102.6 s	163.2 s	61.0 t	14.2 q	148.1 s	64.0 t	14.2 q	
24d		154.1 s	118.7 s	161.0 s	60.2 t	14.1 q	145.2 s	64.1 t	13.8 q	
Verb.	C-10	C-11	C-12	C-13	C-14	C-15	C-16	C-17		
24b	137.7 s	123.9 d	128.7 d	125.5 d	34.6 q	—	—	—		
24c	137.4 s	123.6 d	128.8 d	127.0 d	131.8 s	121.8 d	128.6 d	124.3 d		
24d	138.0 s	122.6 d	128.5 d	128.9 d	135.9 s	123.9 d	128.7 d	124.0 d		

^{a)} Siehe Fußnote^{a)} in Tab. 1.

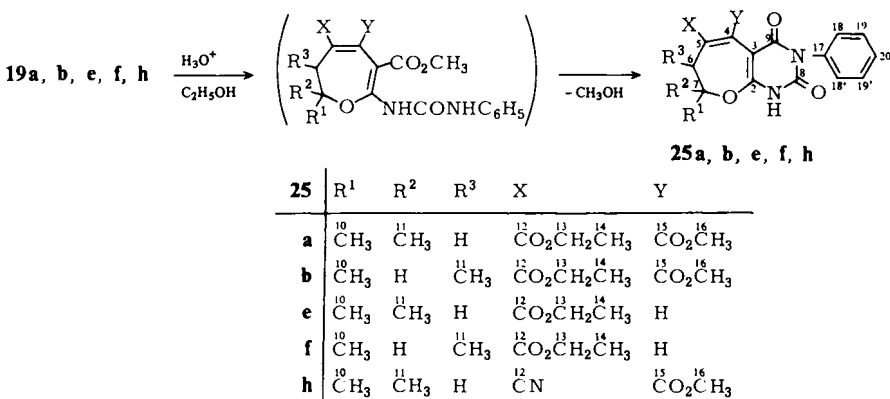
Die Iminophosphorane **10b–d** reagieren unter obigen Bedingungen mit Phenylisocyanat sowie nach Aufarbeitung der ethanolischen Lösung überraschenderweise nicht zu den Carbodiimiden **23b–d**, sondern unter Ethanoladdition zu den *O*-Ethylisoharnstoffen **24b–d**, die eigentlich nur unter energischen Reaktionsbedingungen oder Cu₂Cl₂-Katalyse – via Chloramidinium-Ionen – entstehen¹⁵⁾.



In den ¹H-NMR-Spektren von **24b–d** findet man entsprechend die Resonanzsignale der zusätzlichen *O*-Ethylgruppe. Im Vergleich zu C-17 in **19–21** wird das entsprechende C-7 in **24b–d** zu etwas höherem Feld, δ = 145–148, verschoben (siehe Tab. 4, 5).

Die Addition von Isocyanaten an heterocyclische β-Enaminoester sowie der basenkatalysierte Ringschluß zu heterokondensierten Uracilen stellt ein bequemes Syntheseprinzip für neuartige kondensierte Heterocyclensysteme dar und hat eine breite Anwendung gefunden¹⁶⁾. Auch die Carbodiimide **19–21** stellen geeignete Ausgangsverbindungen für die Darstellung heterokondensierter Pyrimidine dieses Bautyps dar, indem sie Wasser oder Amine glatt addieren und die so entstandenen Additionsprodukte eine hohe Tendenz zur Heterocyclisierung zeigen. Hierdurch wird ein eleganter Zugang zu neuartigen 7:6- und 8:6-Kombinationen zweier heterocyclischer Ringe möglich.

Die Carbodiimide **19a, b, e, f, h** werden durch 4ständiges Erhitzen in wäßrigem Ethanol und mit katalytischen Mengen an HCl in 70–88% Ausbeute in die Oxepino[2,3-*d*]-pyrimidine **25a, b, e, f, h** übergeführt.



Tab. 6. UV-, IR-, ^1H -NMR- und ^{13}C -NMR-Daten der Verbindungen 25a, b, e, f, h^{a)}

Verb.	$\text{UV}(\text{CHCl}_3)$ λ _{max} [nm] (lg ε)	IR (KBr) [cm ⁻¹]			NMR (Solvans DMSO, δ-Werte, J [Hz] in Klammern)										NH				
		C≡N	C=O	C=C	4-H	6-H	7-H	10-H	11-H	13-H	14-H	16-H	18-H	19-H	20-H				
25a	303 (4.15) 267 (4.08)	1725	1605	—	2.76 s	—	1.38 s	1.38 s	4.24 q (7.3)	1.28 t (7.3)	3.74 s	7.23 m	7.48 m	9.74 m	9.73 s				
25b	312 (4.07) 263 (3.89)	1730	1575	—	2.99 q (7.3)	4.74 q (6.6)	1.37 d (7.3)	1.21 d (6.6)	4.20 q (7.3)	1.29 t (7.3)	3.71 s	7.23 m	7.47 m	9.02 s	—				
25e	314 (4.16) 263 (4.10)	1710	1580	8.00 s	2.88 s	—	1.41 s	1.41 s	4.20 q (7.3)	1.28 t (7.3)	—	7.23 m	7.47 m	8.96 s	—				
25f	316 (4.19) 263 (4.12)	1715	1585	7.90 s	3.24 q (6.6)	4.49 q (6.3)	1.44 d (6.6)	1.07 d (6.3)	4.20 q (7.3)	1.28 t (7.3)	—	7.24 m	7.47 m	9.38 s	—				
25h	318 (4.15) 260 (3.79)	2205	1725	1600	—	2.80 s	—	1.49 s	1.49 s	—	—	3.64 s	7.09 – 7.60 m	—	—				
Verb.	C-2	C-3	C-4	C-5	C-6	C-7	C-8	C-9	C-10	C-11	C-12	C-13	C-14	C-15	C-16	C-17	C-18	C-19	C-20
25a	158.7 s	100.1 s	136.5 s	133.9 s	40.5 t	93.8 s	150.6 s	162.3 s	162.3 s	162.3 s	162.3 s	162.3 s	162.3 s	162.3 s	162.3 s	162.3 s	162.3 s	162.3 s	28.1 q
25b	157.8 s	90.1 s	136.6 s	134.0 s	40.6 d	83.7 d	149.6 s	162.5 s	162.5 s	162.5 s	162.5 s	162.5 s	162.5 s	162.5 s	162.5 s	162.5 s	162.5 s	162.5 s	10.4 q
25f	159.6 s	91.0 s	134.5 d	128.6 s	39.5 d	81.6 d	149.6 s	163.6 s	163.6 s	163.6 s	163.6 s	163.6 s	163.6 s	163.6 s	163.6 s	163.6 s	163.6 s	163.6 s	12.2 q
25h	159.2 s	90.8 s	143.3 s	108.2 s	41.7 t	94.5 s	148.9 s	161.5 s	161.5 s	161.5 s	161.5 s	161.5 s	161.5 s	161.5 s	161.5 s	161.5 s	161.5 s	161.5 s	27.2 q
Verb.	C-12	C-13	C-14	C-15	C-16	C-17	C-18	C-19	C-20	—	—	—	—	—	—	—	—	—	—
25a	166.8 s	61.5 t	13.8 q	166.7 s	52.3 q	130.4 s	128.4 d	129.0 d	129.0 d	129.0 d	129.0 d	129.0 d	129.0 d	129.0 d	129.0 d	129.0 d	129.0 d	129.0 d	128.7 d
25b	167.5 s	61.5 t	13.9 q	167.5 s	52.4 q	131.1 s	129.0 d	129.2 d	129.2 d	129.2 d	129.2 d	129.2 d	129.2 d	129.2 d	129.2 d	129.2 d	129.2 d	129.2 d	128.8 d
25f	166.9 s	60.8 t	14.1 q	—	164.3 s	51.9 q	131.3 s	128.4 d	129.2 d	129.2 d	129.2 d	129.2 d	129.2 d	129.2 d	129.2 d	129.2 d	129.2 d	129.2 d	128.8 d
25h	117.1 s	—	—	—	—	—	133.6 s	127.8 d	128.4 d	128.4 d	128.4 d	128.4 d	128.4 d	128.4 d	128.4 d	128.4 d	128.4 d	127.9 d	

a) Siehe Fußnote^{a)} in Tab. 1.

Tab. 7. UV-, IR-, ¹H-NMR- und ¹³C-NMR-Daten der Verbindungen 31a – c, e – h und 34

Verb.	UV (CHCl ₃)		IR (KBr) [cm ⁻¹]		¹ H-NMR (Solvans CDCl ₃ , δ-Werte, J [Hz] in Klammern)										21-H 22-H		
	NH	λ _{max} [nm] (lg ε)	C=O	C≡N	C=C	4-H	6-H	7-H	10-H	11-H	13-H	14-H	16-H	17-H	18-H	20-H	21-H (6.0)
31a	334 (4.27) 287 (3.84)	3390	1715	1660	1600	2.72 s		1.48 s	1.48 s	4.24 q (7.3)	1.29 t (7.3)	3.73 q	4.17 m	1.09 d (6.0)	7.23 m	7.57 m	
31b	330 (4.31) 277 (3.92)	3400	1730	1655	1585	3.07 q (7.3)	4.46 q (7.3)	1.49 d (7.3)	1.27 d (7.3)	4.16 q (7.3)	1.21 t (7.3)	3.70 s	4.17 m	1.09 d (6.0)	7.24 m	7.56 m	
31c	333 (4.30) 283 (3.86)	3390	1730	1660	1590	2.82 m	4.99 m	1.46 d (7.3)	4.22 q (7.3)	1.29 t (7.3)	3.72 s	4.22 m	1.09 d (6.0)	7.24 m	7.56 m		
31e	343 (4.37) 278 (3.91)	3400	1660	1610	1590	8.15 s	2.87 s	1.48 s	1.48 s	4.20 q (7.3)	1.27 t (7.3)		4.30 m	1.09 d (6.0)	7.23 m	7.57 m	
31f	345 (4.44) 277 (3.99)	3400	1675	1610	1590	8.04 s	3.19 q (7.0)	4.46 q (7.0)	1.53 d (7.0)	1.11 d (7.0)	4.18 q (7.0)	1.27 t (7.0)		4.17 m	1.13 d (6.0)	7.25 m	7.57 m
31g	347 (4.34) 280 (3.89)	3410	1680	1620	1585	8.17 d (2.0)	2.88 m	4.49 m	1.54 d (7.0)	4.18 q (7.0)	1.26 t (7.0)		4.17 m	1.09 d (6.0)	7.25 m	7.57 m	
31h	342 (3.42) 280 (3.81)	3360	1725	1665	1585	2.70 s		1.42 s			3.62 s	4.33 m	1.05 d (6.0)	7.28 m	7.54 m		
	C≡N: 2200																
34	350 (4.17) 272 (4.36)	3420	1700	1625	1590	7.82 s	2.87 m	1.75 m	3.13 m	4.17 q (7.3)	1.27 t (7.3)		1.09 d (6.0)	7.24 m	7.56 m		

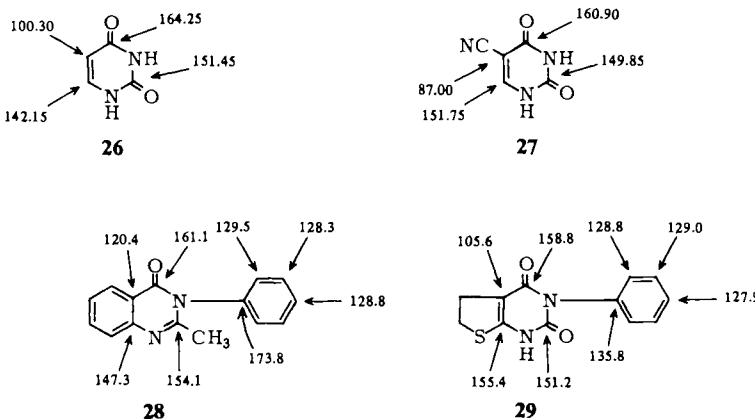
Tab. 7 (Fortsetzung)

Verb. ^{b)}	C-2	C-3	C-4	C-5	C-6	C-7	C-8	C-9	C-10 C-11	C-12
31a	167.8 s	97.1 s	138.4 s	129.7 s	40.8 t	96.5 s	152.3 s	162.8 s	28.3 q	168.4 s
31b	168.3 s	92.0 s	133.8 s	128.5 s	41.4 t	79.9 d	151.1 s	162.9 s	{ 19.3 q 11.9 q	169.1 s
31c	168.2 s	94.9 s	137.3 s	129.1 s	36.4 t	85.0 d	152.0 d	162.7 s	21.7 q	168.5 s
31e	167.2 s	94.5 s	134.2 d	120.7 d	40.3 t	80.1 s	151.2 s	164.1 s	27.3 q	168.1 s
31f	167.5 s	93.4 s	134.3 d	128.5 s	39.7 d	78.6 d	151.1 s	164.3 s	{ 19.9 q 12.8 q	169.3 s
31g	167.9 s	93.8 s	134.2 d	122.5 s	37.2 t	76.6 d	151.3 s	164.3 s	21.4 q	169.4 s
34	167.1 s	108.9 s	133.8 s	126.8 s	24.9 t	21.4 t	149.0 s	161.5 s	29.1 q	167.4 s
Verb. ^{b)}	C-13	C-14	C-15	C-16	C-17	C-18	C-19	C-20	C-21	C-22
31a	61.1 t	14.0 q	{ 167.3 s 52.1 q	43.7 d	22.4 q	133.7 s	128.6 d	130.7 d	130.1 d	
31b	61.0 t	13.9 q	{ 168.3 q 52.1 q	43.5 d	22.6 q	132.2 s	128.7 d	130.6 d	130.0 d	
31c	61.2 t	14.0 q	{ 162.3 q 52.2 q	43.7 d	22.5 q	133.7 s	128.6 d	130.7 d	130.1 d	
31e	60.3 t	14.1 q		43.3 d	22.5 q	132.2 s	128.5 d	130.5 d	129.8 d	
31f	60.3 t	14.2 q		43.5 d	22.8 q	130.0 s	128.6 d	130.7 d	129.8 d	
31g	60.3 t	14.1 q		43.5 d	22.4 q	131.3 s	128.6 d	130.6 d	130.0 d	
34	60.3 t	14.1 q		43.6 d	22.4 q	133.5 s	128.4 d	130.4 d	129.9 d	

^{a)} Siehe Fußnote^{a)} in Tab. 1. — ^{b)} Solvens CDCl₃, TMS δ = 10 ppm.

Diese neuartige Verknüpfung eines Pyrimidins mit einem Oxepin wurde bisher erst einmal in Form eines Nebenproduktes bei Synthesen in der Barbituratreihe gefunden¹⁷⁾. Das hier aufgezeigte Verfahren ermöglicht einen breiten Zugang zu kondensierten Systemen dieses Typs mit beträchtlicher Variationsbreite.

Die Konstitution von **25a, b, e, f, h** wird durch die ¹H- und ¹³C-NMR-Daten gestützt. In den ¹H-NMR-Spektren findet man die typischen Signale des Dihydrooxepinringes; im Vergleich zu **19a, b, e, f, h** fehlt jedoch das Signal der Methylestergruppe ($\delta = 3.9$). Bei den ¹³C-NMR-Spektren kann man eine Reihe von Vergleichsdaten von (5-substituierten) Uracilen **26** und **27**¹⁸⁾ und Chinazolinen **28**¹⁹⁾ sowie früher selbst beschriebener¹⁶⁾ Thieno[2,3-d]pyrimidine **29** heranziehen (siehe Tab. 6).



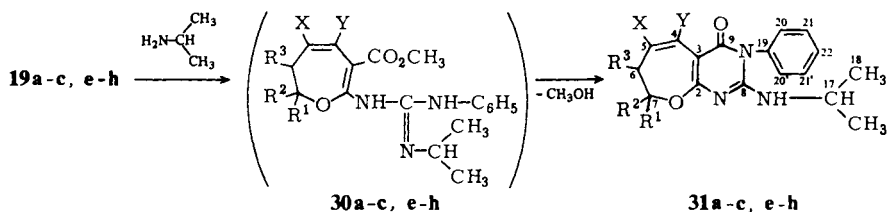
Somit können bei **25a, b, e, f, h** die Resonanzsignale bei $\delta = 148.9 - 150.6$ C-8 sowie $\delta = 161.5 - 163.6$ C-9 zugeordnet werden. Ein Vergleich mit **28** ermöglicht eine leichte Zuordnung der C_{arom.} (C-18/C-20 austauschbar), während die Signale des Dihydrooxepin-Teils durch Vergleich mit den Ausgangsverbindungen identifiziert werden können (siehe Tab. 6).

Beim Erhitzen der Carbodiimide **19a – c, e – h** in überschüssigem Isopropylamin entstehen zunächst, wie aus der Literatur bekannt²⁰⁾, die Guanidinderivate **30a – c, e – h**, die sodann unter Abspaltung von Methanol zu den 2-(Isopropylamino)oxepino[2,3-d]-pyrimidinen **31a – c, e – h** ringschließen.

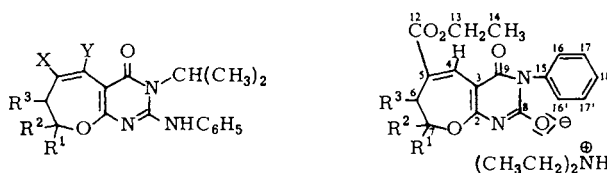
Eine denkbare Tautomerie von **31a – c, e – h** zur 2-Imino-Verbindung sowie die Bildung des Isomeren **32** können aufgrund der ¹H-NMR-Spektren ausgeschlossen werden, wie bei **31h** die typische Doubletaufspaltung für das 2-NH belegt. Die Entstehung von **32** bzw. seines 2-Imino-Tautomeren wird ferner ¹³C-NMR-spektroskopisch durch Vergleich mit Literaturdaten^{20c)} eindeutig ausgeschlossen (siehe Tab. 7).

Bei Behandlung von **19f, g** mit wäßrigem Diethylamin entstehen die salzartigen Verbindungen **33f, g**, was im IR-Spektrum durch eine typische breite $\text{>} \text{NH}_2^+$ -Bande bei 2400 cm^{-1} (Tab. 8) sowie durch das Massenspektrum (M^+ jeweils Molmasse des Anions **33f, g**) belegt wird. Offensichtlich reagieren die intermediär entstehenden Oxepino[2,3-d]pyrimidindione **25f, g** mit Diethylamin zu den Salzen **33f, g**, was durch unabhängige Experimente, z. B. mit **25f** und Diethylamin, leicht zu belegen ist.

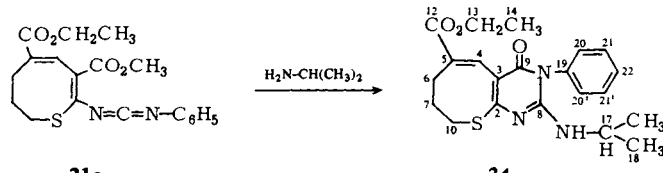
In analoger Weise entsteht aus dem Thiocin **21a** mit Isopropylamin das noch unbekannte Ringgerüst des 3,4,7,8-Tetrahydro-2*H*-thiocino[2,3-d]pyrimidins **34**.



31	R ¹	R ²	R ³	X	Y
a	¹⁰ CH ₃	¹¹ CH ₃	H	¹² CO ₂ ¹³ CH ₂ ¹⁴ CH ₃	¹⁵ CO ₂ ¹⁶ CH ₃
b	¹⁰ CH ₃	H	¹¹ CH ₃	¹² CO ₂ ¹³ CH ₂ ¹⁴ CH ₃	¹⁵ CO ₂ ¹⁶ CH ₃
c	¹⁰ CH ₃	H	H	¹² CO ₂ ¹³ CH ₂ ¹⁴ CH ₃ .	¹⁵ CO ₂ ¹⁶ CH ₃
e	¹⁰ CH ₃	¹¹ CH ₃	H	¹² CO ₂ ¹³ CH ₂ ¹⁴ CH ₃	H
f	¹⁰ CH ₃	H	¹¹ CH ₃	¹² CO ₂ ¹³ CH ₂ ¹⁴ CH ₃	H
g	¹⁰ CH ₃	H	H	¹² CO ₂ ¹³ CH ₂ ¹⁴ CH ₃	H
h	¹⁰ CH ₃	¹¹ CH ₃	H	¹² CN	¹⁵ CO ₂ ¹⁶ CH ₃



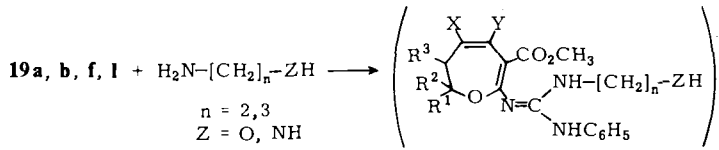
33	R ¹	R ²	R ³
f	¹⁰ CH ₃	H	¹¹ CH ₃
g	¹⁰ CH ₃	H	H



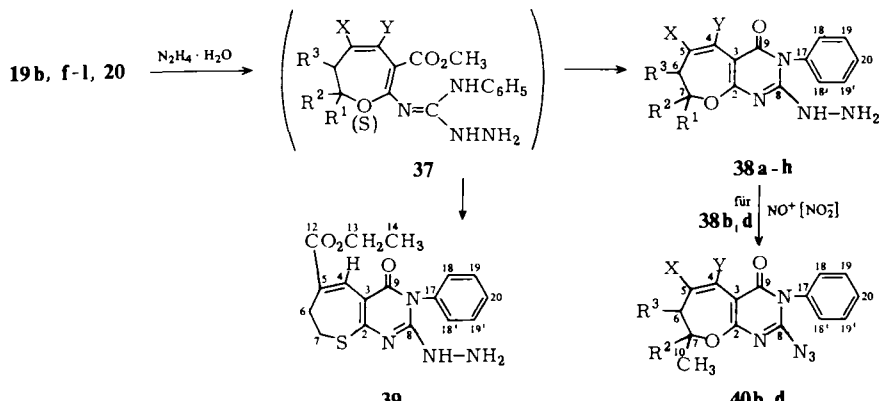
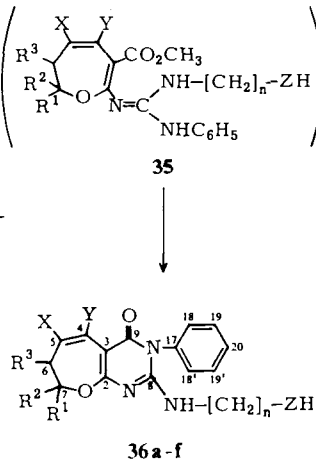
2-Aminoethanol, 3-Aminopropanol und Ethylendiamin reagieren folgerichtig mit den Carbodiimiden **19a, b, f, l** über die 1:1-Addukte **35** zu den Hydroxy- und Amino-alkylamino-Derivaten **36a – f**. Eine Reaktion der terminalen Hydroxy- bzw. Amino-gruppen mit überschüssigem Carbodiimid unter Bildung von 2:1-Addukten wird nicht beobachtet. Mit Hydrazinhydrat entstehen entsprechend aus **19b, f – l** sowie **20** – via **37** – die Hydrazinoxepino- und -thiepino[2,3-*d*]pyrimidine **38a – h** und **39**; diese Hydrazino-Derivate sind geeignete Ausgangsverbindungen für weitere Heterocyclisierungsschritte, wie z. B. die Ankondensierung eines *s*-Triazolrings mit funktionellen C₁-Gruppierungen²¹⁾.

Die Konstitutionen von **36a – f** folgen aus ihren ^1H -NMR-Spektren (siehe Tab. 10). Im Bereich von $\delta = 4.8 – 5.5$ erscheint das NH-Signal erwartungsgemäß als breites, schlecht aufgelöstes

Triplet; bei den Hydrazino-Derivaten **38a–h** und **39** findet man das Resonanzsignal des NH-Protons bei $\delta = 5.4\text{--}5.9$, das der NH₂-Gruppe bei $3.8\text{--}3.9$. Im übrigen ermöglicht die enge konstitutionelle Verwandtschaft von **31a–c, e–h**, **36a–f** und **38a–h** sowie **39** eine sichere Zuordnung der Signale in den ¹³C-NMR-Spektren (siehe Tab. 8–13).



36	R¹	R²	R³	X	Y	-[CH₂]_n-ZH	
	¹⁰ CH ₃	H	¹¹ CH ₃	¹² CO ₂ CH ₂ ¹³ CH ₃	¹⁴ CH ₃	¹⁵ CO ₂ ¹⁶ CH ₃	- ²¹ CH ₂ ²² CH ₂ OH
a	¹⁰ CH ₃	H	¹¹ CH ₃	¹² CO ₂ CH ₂ ¹³ CH ₃	¹⁴ CH ₃	¹⁵ CO ₂ ¹⁶ CH ₃	- ²¹ CH ₂ ²² CH ₂ OH
b	¹⁰ CH ₃	H	¹¹ CH ₃	¹² CN	H		- ²¹ CH ₂ ²² CH ₂ OH
c	¹⁰ CH ₃	H	¹¹ CH ₃	¹² CO ₂ CH ₂ ¹³ CH ₃	¹⁴ CH ₃	H	- ²¹ CH ₂ ²² CH ₂ ²¹ CH ₂ OH
d	¹⁰ CH ₃	H	¹¹ CH ₃	¹² CN	H		- ²¹ CH ₂ ²² CH ₂ ²¹ CH ₂ OH
e	¹⁰ CH ₃	¹¹ CH ₃	H	¹² CO ₂ CH ₂ ¹³ CH ₃	¹⁴ CH ₃	¹⁵ CO ₂ ¹⁶ CH ₃	- ²¹ CH ₂ ²² CH ₂ NH ₂
f	¹⁰ CH ₃	H	¹¹ CH ₃	¹² CO ₂ CH ₂ ¹³ CH ₃	¹⁴ CH ₃	¹⁵ CO ₂ ¹⁶ CH ₃	- ²¹ CH ₂ ²² CH ₂ NH ₂

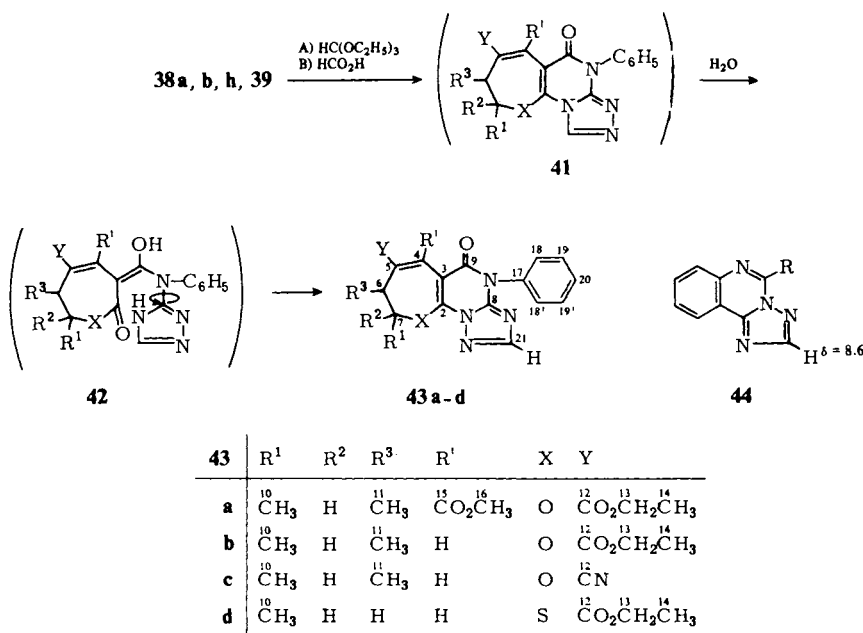


38	R¹	R²	R³	X	Y
	¹⁰ CH ₃	H	¹¹ CH ₃	¹² CO ₂ ¹³ CH ₂ ¹⁴ CH ₃	¹⁵ CO ₂ ¹⁶ CH ₃
a	¹⁰ CH ₃	H	¹¹ CH ₃	¹² CO ₂ ¹³ CH ₂ ¹⁴ CH ₃	¹⁵ CO ₂ ¹⁶ CH ₃
b	¹⁰ CH ₃	H	¹¹ CH ₃	¹² CO ₂ ¹³ CH ₂ ¹⁴ CH ₃	H
c	¹⁰ CH ₃	H	H	¹² CO ₂ CH ₂ ¹³ CH ₃	H
d	¹⁰ CH ₃	¹¹ CH ₃	H	¹² CN	¹⁵ CO ₂ ¹⁶ CH ₃
e	¹⁰ CH ₃	H	¹¹ CH ₃	¹² CN	¹⁵ CO ₂ ¹⁶ CH ₃
f	¹⁰ CH ₃	H	H	¹² CN	¹⁵ CO ₂ ¹⁶ CH ₃
g	¹⁰ CH ₃	¹¹ CH ₃	H	¹² CN	H
h	¹⁰ CH ₃	H	¹¹ CH ₃	¹² CN	H

40	R²	R³	X	Y	
	b	H	¹¹ CH ₃	¹² CO ₂ ¹³ CH ₂ ¹⁴ CH ₃	H
d	¹¹ CH ₃	H	¹² CN		¹⁵ CO ₂ ¹⁶ CH ₃

Die Diazotierung von **38b, d** verläuft glatt und liefert die erwarteten 2-Azido-Derivate **40b, d** mit einer intensiven Heterocumulenbande bei 2140 cm^{-1} ; die Auswertung der ^{13}C -NMR-Spektren ergibt keinen Hinweis auf das Vorliegen eines Isomerengemisches (kondensiertes Tetrazol)²²⁾, womit eine Ähnlichkeit mit den von Sauter und Mitarb.²³⁾ studierten Systemen besteht (Tab. 16).

Die 2-Hydrazinoxepino- und -thiepino[2,3-d]pyrimidine **38a, b, h** und **39** reagieren mit Orthoameisensäure-triethylester oder Ameisensäure in der Siedehitze über einen intermediären Tricyclus **41** nach Dimroth-analoger²⁴⁾ Umlagerung (**42**) zu den [1,2,4]-Triazolo[3,2-b]oxepino- und -thiepino[2,3-d]pyrimidinen **43a – d**.



Umlagerungen dieses Typs sind in der Literatur bekannt, wie z. B. für *s*-Triazolo-pyrimidine²⁵⁾, *s*-Triazolo[4,3-c]chinazoline²⁶⁾ sowie für die Reaktion des 4-Hydrazino-5,6,7,8-tetrahydrobenzothieno[2,3-d]pyrimidins mit den gleichen C₁-Reagentien²⁷⁾.

Die Konstitutionen von **43a – d** befinden sich in Einklang mit ihren ^1H -NMR-Spektren. Besonders charakteristisch ist dabei das tieffeldverschobene Resonanzsignal des Triazol-H, welches bei $\delta = 8.4 - 8.6$ gefunden wird und sich damit in guter Übereinstimmung mit ähnlich strukturierten kondensierten *s*-Triazolen, wie z. B. **44** ($\delta = 8.6$) befindet^{26,27)}. Die ^{13}C -NMR-Spektren weisen im Vergleich zu den Ausgangsverbindungen praktisch keine Veränderung auf; jedoch erscheint bei $\delta = 133$ zusätzlich das Resonanzsignal des hinzugekommenen Triazol-C-Atoms mit einer Kopplungskonstante $^1J_{\text{C}-\text{H}}$ von $219 - 225\text{ Hz}$ (siehe Tab. 14).

Bei der Reaktion von **38b, c** mit Orthoessigsäure-triethylester erlauben hingegen die gewonnenen spektroskopischen Daten keine eindeutige Konstitutionsbestimmung der erhaltenen tricyclischen Reaktionsprodukte **45a, b** oder **45'a, b**.

Tab. 8. UV- und IR-Daten der Verbindungen 33f, g und 36a – f

Verb.	UV (CHCl ₃) λ_{\max} [nm] (lg ε)	N ⁺ H	IR (KBr) [cm ⁻¹]				
			C=O	C=N	C=C		
33f	317 (4.29) 263 (4.15)	2400	1680 1660	1610	1570		
33g	317 (4.25) 263 (4.15)	2350	1675 1660	1615	1575		
		OH	NH	C≡N	C=O	N=N	C=C
36a	327 (4.20) 270 (3.93)	3380	3270	—	1705 1697	1665	1565
36b	340 (4.44) 272 (4.04)	3360	3280	2200	1655	1605	1570
36c	343 (4.39) 275 (3.97)	3500	3310	—	1690 1660	1620	1590
36d	338 (4.26) 260 (3.77)	3460	3260	2195	1665	1605	1560
36e	333 (4.31) 285 (3.93)	—	3360 3300 3160	—	1725 1700 1660	1650	1590
36f	328 (4.30) 275 (3.92)	—	3700 3310 3110	—	1730 1705 1670	1650	1592

Tab. 9. ¹³C-NMR-Daten der Verbindungen 33f, g und 36a – e (Solvens CDCl₃, δ-Werte)^{a)}

Verb.	C-2	C-3	C-4	C-5	C-6	C-7	C-8	C-9	C-10	C-11	
33f	169.6 s	90.6 s	138.0 d	126.5 s	39.3 d	78.0 d	156.8 s	166.4 s	19.8 q	12.3 q	
33g	169.9 s	91.2 s	138.0 d	119.1 s	37.4 t	75.9 d	157.0 s	166.4 s	21.7 q	—	
Verb.	C-12	C-13	C-14	C-15	C-16	C-17	C-18	C-19	C-20		
33f	167.9 s	60.0 t	14.2 q	131.2 s	128.8 d	128.8 d	127.5 d	11.0 q	41.7 t		
33g	168.3 s	60.1 t	14.2 q	132.6 s	128.8 d	128.8 d	127.6 d	11.1 q	41.7 t		
Verb.	C-2	C-3	C-4	C-5	C-6	C-7	C-8	C-9	C-10	C-11	
36a	168.9 s	92.3 s	134.8 s	128.6 s	42.0 d	80.0 d	152.3 s	162.9 s	19.4 q	11.7 q	
36b	169.1 s	94.0 s	137.7 d	109.3 s	42.7 d	78.2 d	152.7 s	163.5 s	18.7 q	12.9 q	
36c	169.0 s	93.4 s	134.4 d	127.9 s	39.7 d	79.0 d	152.4 s	164.3 s	19.9 q	12.7 q	
36d	169.2 s	93.8 s	134.8 d	109.0 s	42.7 d	78.2 d	152.7 s	163.5 s	18.8 q	12.9 q	
36e	168.3 s	96.9 s	138.2 s	129.6 s	40.8 t	96.3 s	153.2 s	162.5 s	28.3 q	28.3 q	
Verb.	C-12	C-13 C-14	C-15	C-16	C-17	C-18	C-19	C-20	C-21	C-22	C-23
36a	168.5 s	61.1 t 13.9 q	168.3 s	52.1 q	133.7 s	130.0 d	132.0 d	130.6 d	44.0 t	61.1 t	—
36b	120.1 s	—	—	—	133.7 s	128.4 d	130.6 d	130.1 d	43.9 t	60.1 t	—
36c	167.5 s	60.3 t 14.2 q	—	—	130.1 s	129.1 d	130.6 d	128.7 d	39.7 t	31.2 t	60.3 t
36d	121.1 s	—	—	—	133.8 s	128.4 d	130.5 d	130.0 d	40.0 t	30.6 t	60.3 t
36e	167.8 s	61.1 t 13.9 q	167.3 s	52.1 q	133.8 s	128.6 d	130.6 d	130.0 d	40.4 t	43.7 t	—

^{a)} Siehe Fußnote^{a)} in Tab. 1.

Tab. 10. $^1\text{H-NMR}$ -Daten der Verbindungen 33f, g und 36a – f (Solvens CDCl_3 , δ -Werte, J [Hz] in Klammern)^{a)}

	4-H	6-H	7-H	10-H	11-H	13-H	14-H	Aromaten-H	19-H	20-H	NH
33f	8.07 s	3.11 q (7.0)	4.40 q (6.0)	1.37 d (6.0)	1.02 d (7.0)	4.16 q (7.3)	1.26 t (7.3)	7.13 – 7.49 m (7.3)	1.04 t (7.3)	2.43 q (7.3)	8.11 s
33g	8.07 s	2.93 m	4.36 m	1.40 d (7.0)	–	4.14 q (7.3)	1.26 t (7.3)	7.09 – 7.53 m (7.3)	1.03 t (7.3)	2.42 q (7.3)	7.78 s
	4-H	6-H	7-H	10-H	11-H	13-H	14-H	16-H	18-H	19-H	NH
36a	–	3.03 q (6.5)	4.61 q (7.0)	1.47 d (6.5)	1.17 d (7.0)	4.18 q (7.3)	1.29 t (7.3)	3.68 s (7.3)	7.13 – 7.33 m	7.34 – 7.62 m	–
36b	7.40 s	2.70 q (7.0)	4.46 q (6.7)	1.48 d (6.7)	1.21 d (7.0)	–	–	7.11 –	7.38 –	3.33 – 3.76 m	–
36c	8.02 s	3.17 q (7.0)	4.44 q (7.0)	1.53 d (7.0)	1.11 d (7.0)	4.18 q (7.3)	1.27 t (7.3)	–	7.11 –	7.42 –	3.62 t (5.5)
36d	7.47 s	2.72 q (7.0)	4.45 q (7.0)	1.49 d (7.0)	1.23 d (7.0)	–	–	7.42 m (7.67 m)	7.42 m (7.67 m)	1.56 m (5.5)	3.56 t (5.5)
36e	–	3.11 s	–	1.49 s	1.49 s	4.23 q (7.3)	1.29 t (7.3)	3.73 s (7.3)	7.10 –	7.37 –	3.40 q (6.0)
36f	–	3.06 q (7.1)	4.63 q (6.8)	1.48 d (7.1)	1.18 d (6.8)	4.18 d (7.3)	1.28 t (7.3)	3.67 s (7.35 m)	7.15 –	7.42 –	3.38 q (5.5)
	4-H	6-H	7-H	10-H	11-H	13-H	14-H	16-H	18-H	19-H	20-H

^{a)} Siehe Fußnote^{a)} in Tab. 1.

Tab. 11. ^1H -NMR-Daten der Verbindungen **38a–h** und **39^a** (Solvens: **38a–d, h** und **39** in CDCl_3 , **38e–g** in DMSO (δ -Werte))

Verb.	4-H	6-H	7-H	10-H	11-H	13-H	14-H	16-H	18-H	19-H	20-H	NH	NH ₂
38a	—	3.04 q (7.3)	4.67 q (6.6)	1.49 d (6.6)	1.11 d (7.3)	4.18 q (7.3)	1.28 t (7.3)	3.68 s	7.21 m	7.54 m	5.71 s	3.99 s	
38b	8.01 s	3.20 q (7.0)	4.48 q (6.6)	1.55 d (6.6)	1.11 d (7.0)	4.19 q (7.0)	1.27 t (7.0)	—	7.24 m	7.57 m	5.86 s	3.88 s	
38c	8.02 d (2.0)	2.88 m	4.51 m	1.57 d (7.0)	—	4.17 q (7.3)	1.27 t (7.3)	—	7.22 m	7.53 m	5.93 s	3.84 s	
38d	—	2.69 s	—	1.59 s	1.59 s	—	—	3.83 s	7.24 m	7.55 m	5.84 s	3.89 s	
38e	—	2.86 q (7.0)	4.69 q (6.5)	1.47 d (6.5)	1.27 d (7.0)	—	—	3.72 s	7.22 m	7.54 m	—	—	
38f	—	2.83 m	4.60 m	1.39 d (6.6)	—	—	—	3.56 s	7.13 m	7.54 m	—	—	
38g	7.37 s	2.67 s	—	1.39 s	—	—	—	—	7.16 m	7.43 m	—	—	
38h	7.48 s	2.73 q (7.0)	4.53 q (7.0)	1.51 d (7.0)	1.26 d (7.0)	—	—	—	7.27 m	7.63 m	5.41 s	3.88 s	
39	8.13 s	3.16 q (7.1)	4.39 q (7.1)	—	—	4.20 q (7.3)	1.27 t (7.3)	—	7.24 m	7.56 m	7.53 s	3.89 s	

^a) Siehe Fußnote^a in Tab. 1.

Tab. 12. UV- und IR-Daten der Verbindungen 38a – h und 39

Verb.	UV (CHCl ₃) λ_{max} [nm] (lg ε)				IR (KBr) [cm ⁻¹]		
		NH	C ≡ N	C = O	C = N	C = C	
38a	325 (4.22) 273 (3.86)	3320, 3200	–	1715, 1665	1650	1595, 1570	
38b	343 (4.42) 270 (4.01)	3320, 3250	–	1685, 1675	1625	1590	
38c	343 (4.24) 277 (3.97)	3320, 3250	–	1700, 1670	1625	1585, 1560	
38d	337 (4.44) 273 (3.93)	3310, 3220	2200	1715, 1663	1632	1565	
38e	337 (4.37) 274 (3.82)	3320, 3210	2200	1730, 1660	1650	1590	
38f	335 (4.40) 273 (4.00)	3330, 3240	2200	1730, 1670	1650	1690, 1675	
38g	338 (4.37) 273 (3.96)	3330, 3240	2190	1650	1605	1590	
38h	340 (4.35) 270 (4.00)	3330, 3240	2190	1665	1605	1560	
39	360 (4.19) 273 (4.38)	3330, 3200	–	1700, 1667	1605	1590, 1555	

Tab. 13. ¹³C-NMR-Daten der Verbindungen 38a – h (Solvens DMSO, δ-Werte)^{a)}

Verb.	C-2	C-3	C-4	C-5	C-6	C-7	C-8	C-9	C-10	C-11
38a	168.0 s	92.6 s	135.3 s	132.9 s	41.1 d	80.0 d	153.3 s	162.5 s	18.0 q	11.3 q
38b	167.2 s	94.0 s	133.4 d	128.5 s	39.7 d	79.1 d	153.7 s	163.8 s	19.9 q	12.6 q
38c	166.2 s	92.2 s	132.8 d	120.8 s	36.2 t	75.1 d	152.8 s	162.8 s	20.3 q	–
38d	167.1 s	94.9 s	144.7 s	108.7 s	42.9 t	90.4 s	154.9 s	162.1 s	28.3 q	28.3 q
38e	167.7 s	89.1 s	143.1 s	105.8	41.4 d	78.3 d	156.3 s	162.5 s	18.2 q	12.5 q
38f	167.5 s	101.3 s	144.4 s	101.3 s	39.0 d	77.6 d	156.2 s	162.7 s	18.5 q	–
38g	166.7 s	92.9 s	135.3 d	96.7 s	42.4 t	78.5 s	155.7 s	163.2 s	26.7 q	26.7 q
38h	167.6 s	91.0 s	133.0 d	105.9 s	40.6 d	75.9 d	152.9 s	161.7 s	17.2 q	11.2 q

Verb.	C-12	C-13	C-14	C-15	C-16	C-17	C-18	C-19	C-20
38a	168.5 s	60.9 t	13.7 q	168.0 s	51.9 q	131.7 s	128.4 d	130.3 d	129.9 d
38b	168.7 s	60.3 t	14.1 a	–	–	130.9 s	130.1 d	130.5 d	129.3 d
38c	168.1 s	58.9 t	13.1 q	–	–	130.2 s	127.5 d	129.0 d	128.6 d
38d	118.4 s	–	–	165.7 s	52.8 q	132.5 s	128.4 d	130.8 d	130.6 d
38e	119.3 s	–	–	168.9 s	51.9 q	135.3 s	128.9 d	129.4 d	128.6 d
38f	119.6 s	–	–	168.5 s	52.0 q	135.3 s	129.0 d	129.5 d	128.6 d
38g	122.5 s	–	–	–	–	137.2 s	129.0 d	129.5 d	128.7 d
38h	119.7 s	–	–	–	–	132.7 s	127.2 d	128.3 d	127.6 d

^{a)} Siehe Fußnote^{a)} in Tab. 1.

Tab. 14. UV-, IR- und $^1\text{H-NMR}$ -Daten der Verbindungen **43a – d**, und **45a – b^{a)}**

Verb.	UV (CHCl_3)		IR (KBr) [cm^{-1}]		$^1\text{H-NMR}$ (Solvens CDCl ₃ , δ -Werte, J [Hz], in Klammern)											
	λ_{max} [nm] (ϵ)	C≡N C=O	C≡N C=O	C=C	4-H	6-H	7-H	10-H	11-H	13-H	14-H	16-H	Aromaten-H	21-H	22-H	
43a	292 (4.04)	—	1740	1635	1595	—	3.50 q (7.3)	5.04 q (6.6)	1.59 d (6.6)	1.27 d (7.3)	4.26 q (7.3)	1.32 t (7.3)	3.72 s	7.27 – 7.61 m	8.41 s	—
43b	338 ^{b)} (3.98) 319 (4.20) 310 (4.21)	—	1700	1635	1605	8.03 s	3.45 q (6.6)	4.71 q (6.6)	1.66 d (6.6)	1.15 d (6.6)	4.27 q (7.3)	1.31 t (7.3)	—	7.29 – 7.71 m	8.51 s	—
43c	335 ^{b)} (3.90) 315 (4.17) 307 (4.19)	2220	1680	1630	1600	7.65 s	2.93 q (7.3)	4.81 q (6.7)	1.61 d (6.7)	1.32 d (7.3)	—	—	—	7.36 – 7.73 m	8.49 s	—
43d	334 (4.12)	—	1700	1650	1595	8.13 s	3.11 – 3.33 m	3.41 – 3.63 m	—	—	4.27 q (7.3)	1.24 t (7.3)	—	7.33 – 7.69 m	8.59 s	—
45a	335 ^{b)} (3.96) 318 (4.18) 312 (4.19) 263 (4.03)	—	1695	1635	1605	8.05 s	3.40 q (7.0)	4.69 q (6.3)	1.66 d (6.3)	1.17 d (7.0)	4.23 q (7.3)	1.31 t (7.3)	—	7.29 – 7.64 m	—	2.73 s
45b	317 (4.23) 312 (4.24) 265 (4.00)	—	1675	1635	1605	8.04 d (2.0)	2.80 – 3.47 ^{c)}	4.71 m	1.68 d (7.2)	—	4.22 q (7.3)	1.31 t (7.3)	—	7.24 – 7.62 m	—	2.71 s

^{a)} Siehe Fußnote^{a)} in Tab. 1. — ^{b)} Schulte. — ^{c)} ABX-System mit $J_{\text{AB}} = 18$ Hz, $J_{\text{AX}} = 8$ Hz und $J'_{\text{BX}} = 1$ Hz.

Tab. 15. ^{13}C -NMR-Daten der Verbindungen **43a–d** und **45'a,b** (Solvens CDCl_3 , δ -Werte, $J_{\text{C}-\text{H}}$ [Hz] in Klammern) a)

Verb.	C-2	C-3	C-4	C-5	C-6	C-7	C-8	C-9	C-10	C-11	C-12	C-13	C-14	C-15
43a	170.9 s	94.7 s	140.2 s	149.9 s	40.4 d	87.6 d	147.7 s	159.8 s	18.7 q	10.9 q	167.0 s	61.6 t	13.8 q	166.4 s
43b	169.8 s	94.8 s	134.2 d	151.2 s	39.9 d	82.9 d	147.3 s	160.5 s	19.3 q	12.2 q	166.2 s	61.1 t	14.0 q	—
43c	—	95.6 s	133.7 d	116.0 s	42.9 d	82.7 d	147.5 s	159.7 s	17.9 q	12.9 q	119.1 s	—	—	—
43d	—	115.2 s	130.2 d	146.1 s	34.3 t	32.8 t	147.7 s	158.2 s	—	—	166.9 s	61.4 t	14.0 q	—
Verb.	C-2	C-3	C-4	C-5	C-6	C-7	C-8	C-9	C-10	C-11	C-12	C-13	C-14	C-17
45'a	170.3 s	94.6 s	134.9 d	128.2 s	40.0 d	83.0 d	153.3 s	160.7 s	18.8 q	12.4 q	166.3 s	61.0 t	14.5 q	134.2 s
45'b	170.6 s	95.3 s	144.9 d	127.8 s	37.3 t	81.1 d	153.4 s	160.7 s	20.8 q	—	166.6 s	61.2 t	14.0 q	134.2 s
Verb.	C-16	C-17	C-18	C-19	C-20	C-21	<i>J</i>	Verb.	C-18	C-19	C-20	C-21	C-22	
43a	52.3 q	133.7 s	127.9 d	129.5 d	129.7 d	133.5 d								
43b	—	135.6 s	127.8 d	129.6 d	129.4 d	133.4 d	(219)		45'a	127.9 d	129.4 d	129.3 d	134.9 s	14.0 q
43c	—	133.5 s	127.7 d	129.6 d	129.6 d	133.5 d	(225)		45'b	127.9 d	129.6 d	129.3 d	129.9 s	14.6 q
43d	—	135.3 s	127.7 d	129.6 d	129.5 d	133.9 d	(221)							

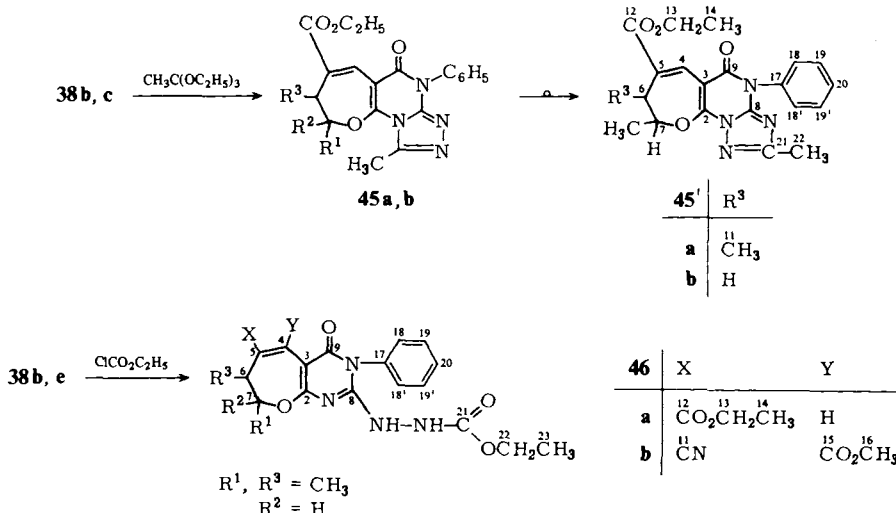
a) Siehe Fußnote^{a)} in Tab. 1.

Tab. 16. UV-, IR-, ^1H -NMR- und ^{13}C -NMR-Daten der Verbindungen **40b, d** und **46a, b^{a)}**

Verb.	UV (CHCl_3) λ_{\max} [nm] (lg ε)	IR (KBr) [cm^{-1}]			NMR (Solvans CDCl_3 , δ-Werte, $J_{\text{C}-\text{H}}$ [Hz] in Klammern)							
		N ₃ / N-H	C≡N	C=O	C=N	C=C	4-H	6-H	7-H	10-H	11-H	13-H
40b	325 (3.81) 280 (3.69) 265 (3.79)	2260 2220 2140	1685 1675 1600	1625 1590 1595	1595 1575 1575	7.99 s — —	3.24 q (7.0) —	4.42 q (6.7) —	1.58 d (6.7) —	1.13 d (7.0) —	4.18 q (7.3) —	1.28 t (7.3) —
40d	340 (4.23)	2220	2140	1725	1600	1595	—	2.71 s	—	1.60 s	—	—
46a	332 (4.32) 215 (3.80)	3370 3270	1745 1720	1625 1590	1590	7.80 s —	3.63 q (7.0) —	4.40 q (6.7) —	1.42 d (6.7) —	0.99 d (7.0) —	4.13 q (7.3) —	1.21 t (7.3) —
46b	335 (4.38) 270 (3.85)	2190	3330 3280	1735 1675	1580	—	2.92 q (7.0) —	4.62 q (6.4) —	1.35 d (6.4) —	1.14 d (7.0) —	—	—
Verb.	16-H		18-H			19/20-H	22-H	23-H	NH	NH	NH	C-12
40b	— 3.83 s	7.09–7.31 m 7.07–7.27 m 7.04–7.34 m	7.40–7.62 m 7.36–7.55 m 7.40–7.64 m	— — —	— — —	— — —	— — —	— — —	— — —	— — —	— — —	
40d	—	—	—	—	—	—	—	—	—	—	—	—
46a	3.61 s	7.09–7.34 m	7.34–7.64 m	—	—	—	—	—	—	—	—	—
46b	—	—	—	—	—	—	—	—	—	—	—	—
Verb.	C-2	C-3	C-4	C-5	C-6	C-7	C-8	C-9	C-10	C-11	C-12	C-13
40b	169.2 s 165.5 s 169.0 s 169.2 s	98.2 s 99.0 s 93.0 s 92.4 s	129.4 d 143.7 s 129.0 d 142.3 s	134.8 s 111.6 s 130.0 s 110.9 s	39.9 d 42.7 t 39.1 d 41.2 d	79.4 d 91.7 s 71.9 d 79.9 d	152.2 s 154.3 s 156.1 s 156.0 s	163.4 s 161.8 s 163.5 s 161.9 s	19.6 q 28.2 q 19.4 q 17.9 q	12.5 q 28.2 q 12.7 q 12.7 q	166.7 s 117.8 s 167.0 s 118.4 s	—
40d	—	—	—	—	—	—	—	—	—	—	—	—
46a	—	—	—	—	—	—	—	—	—	—	—	—
46b	—	—	—	—	—	—	—	—	—	—	—	—
Verb.	C-13	C-14	C-15	C-16	C-17	C-18	C-19	C-20	C-21	C-22	C-23	C-24
40b	60.6 t —	14.0 q —	— —	— —	134.4 s 133.9 s 133.9 s 133.2 s	127.7 d 127.6 d 129.0 d 128.7 d	129.4 d 129.6 d 129.5 d 130.2 d	128.2 d 129.8 d 128.4 d 129.9 d	— — — —	— — — —	— — — —	—
40d	—	—	165.0 s —	52.8 q —	— —	— —	— —	— —	— —	— —	— —	—
46a	59.9 t —	14.2 q —	— —	— —	— —	— —	— —	— —	— —	— —	— —	—
46b	—	—	167.1 s —	52.2 q —	— —	— —	— —	— —	— —	— —	— —	—

^{a)} Siehe Fußnote^{a)} in Tab. 1.

Aufgrund der Tatsache, daß nach Einwirkung von Essigsäure auf diese Produkte keine Veränderung des Substrates festzustellen ist, und daß andererseits Umlagerungen dieses Typs bekanntlich sehr leicht eintreten, läßt sich jedoch mutmaßen, daß bereits unter den Reaktionsbedingungen die umgelagerten Produkte **45'a, b** entstehen.



Nach Kottke und Kühmstedt²⁸⁾ ergeben 3-Aryl-2-hydrazino-4-chinazolone mit Chlorameisensäure-ethylester Ringschluß zu 4-Aryl-1,5-dioxo-1,2,4,5-tetrahydro-s-triazolo[4,3-a]chinazolin. Überraschenderweise erhält man jedoch aus **38b, e**, auch nach mehrstündigem Erhitzen in überschüssigem Chlorameisensäure-ethylester, ausschließlich die Carbazate **46a, b** (siehe Tab. 16).

Dem Minister für Wissenschaft und Forschung des Landes Nordrhein-Westfalen, dem Fonds der Chemischen Industrie sowie der Bayer AG danken wir für die Unterstützung dieser Arbeit.

Experimenteller Teil

IR-Spektren: Perkin-Elmer 157-G. – UV-Spektren: Cary-15 und Cary-17. – ¹H-NMR-Spektren: Varian EM-360 und Bruker WH-90, TMS als innerer Standard. – ¹³C-NMR-Spektren: Bruker WP-80, TMS als innerer Standard. – MS: MS-9 und MS-30 der AEI (Kratos). – Schmelzpunkte: Nicht korrigiert. – Elementaranalysen: Analytische Abteilung des Instituts und Mikroanalytisches Laboratorium Dr. F. Pascher, Bonn.

Allgemeine Vorschrift zur Darstellung der Iminophosphorane **8a, b** und **10a – d**: In 300 ml trockenem Acetonitril werden unter Inertgas (Argon) 100 mmol **7a, b** bzw. **9a – d** gelöst. Nacheinander fügt man 31.4 g (120 mmol) Triphenylphosphan, 20.2 g (200 mmol) Triethylamin und 23.7 g (100 mmol) Hexachlorethan zu. Die Reaktion setzt unmittelbar unter Erwärmung ein, und es entsteht ein farbloser Niederschlag. Man röhrt noch 10 h bei Raumtemp. weiter und arbeitet das Reaktionsgemisch anschließend ohne Inertgas auf, indem man zunächst auf die Hälfte eingengt und anschließend vom ausgefallenen Triethylammoniumchlorid abfiltriert. Das Filtrat wird eingedampft und der Rückstand in Ethanol aufgenommen. Nach kurzem Stehenlassen fallen die Produkte kristallin aus und werden aus Ethanol umkristallisiert (siehe Tab. 17).

Tab. 17. Analytische Daten von 8a, b, 10a – d, 11a, b und 13a, b

Verb.	Name	Ausb. [%] Schmp. [°C]	Summenformel (Molmasse)	Molmasse (MS)	C	H	N	Analyse
8a	4,5,6,7-Tetrahydro-2-(triphenylphosphoranylidene-amino)benzol[b]thiophen-3-carbonsäure-ethylester	84 181	C ₂₉ H ₂₈ NO ₂ PS (485.6)	485	Ber. Gef.	71.25 72.56	5.77 5.87	2.89 2.82
8b	4,5,6,7-Tetrahydro-2-(triphenylphosphoranylidene-amino)benzol[b]thiophen-3-carbonsäure-ethylester	95 198	C ₂₇ H ₂₃ N ₂ PS (438.5)	438	Ber. Gef.	73.97 73.90	5.25 5.32	6.39 6.47
10a	5-(Triphenylphosphoranylideneamino)-4-pyrazol-carbonsäure-ethylester	3 147 – 149	C ₂₄ H ₂₂ N ₃ O ₂ P (415.4)	415	Ber. Gef.	69.40 69.54	5.30 5.19	10.12 10.21
10b	1-Methyl-5-(triphenylphosphoranylideneamino)-4-pyrazolcarbonsäure-ethylester	65 134 – 135	C ₂₅ H ₂₄ N ₃ O ₂ P (429.5)	429	Ber. Gef.	69.93 69.77	5.59 5.63	9.79 9.85
10c	1-Phenyl-5-(triphenylphosphoranylideneamino)-4-pyrazolcarbonsäure-ethylester	89 120 – 123	C ₃₀ H ₂₆ N ₃ O ₂ P (491.5)	491	Ber. Gef.	73.32 73.31	5.30 5.42	8.50 8.59
10d	1-Phenyl-5-(triphenylphosphoranylideneamino)-1,2,3-triazo-4-carbonsäure-ethylester	91 192 – 194	C ₂₉ H ₂₅ N ₄ O ₂ P (492.5)	492	Ber. Gef.	70.73 70.99	5.08 5.09	11.38 10.11
11a	4-(Ethoxycarbonyl)-5-(triphenylphosphoranylideneamino)-1-pyrazolacrylsäure-methylester	22 208 – 210	C ₂₈ H ₂₆ N ₃ O ₄ P (499.5)	500	Ber. Gef.	67.20 65.98	5.20 5.37	8.40 8.77
11b	4-(Ethoxycarbonyl)-5-(triphenylphosphoranylideneamino)-1-pyrazolmaleinsäure-dimethyl-ester	20 162 – 165	C ₃₀ H ₂₈ N ₃ O ₆ P (557.6)	557	Ber. Gef.	64.52 63.88	5.02 5.46	7.53 7.40
13a	2-[1,2-Bis(methoxycarbonyl)-2-(triphenylphosphoranylideneethylideneamino)-4,5,6,7-tetrahydrobenzo[b]thiophen-3-carbonsäure-ethyl-ester	65 166	C ₃₅ H ₃₄ NO ₈ PS (627.7)	627	Ber. Gef.	66.98 66.83	5.42 5.52	2.23 2.25
13b	2-[1,2-Bis(methoxycarbonyl)-2-(triphenylphosphoranylideneethylideneamino)-4,5,6,7-tetrahydrobenzo[b]thiophen-3-carbonitril	71 245 – 246	C ₃₃ H ₂₉ N ₂ O ₄ PS (580.7)	580	Ber. Gef.	68.28 68.30	5.00 5.17	4.83 4.98

Tab. 18. Analytische Daten von 19a - m

Verb.	-carbodiimid	Ausb. [%] Schmp. [°C]	Summenformel (Molmasse)	Molmasse (MS)	C	Analyse H	N
19a	<i>N</i> -[5-(Ethoxycarbonyl)-6,7-dihydro-3,4-bis(methoxy carbonyl)-7,7-dimethyl-2-oxepinyl]- <i>N'</i> -phenyl-	60 205 - 220	C ₂₂ H ₂₄ N ₂ O ₇ (428.5)	428	Ber. Gef.	61.68 61.70	5.61 5.80
19b	<i>N</i> -[5-(Ethoxycarbonyl)-6,7-dihydro-3,4-bis(methoxy carbonyl)-6,7-dimethyl-2-oxepinyl]- <i>N'</i> -phenyl-	78 190 - 195	C ₂₁ H ₂₄ N ₂ O ₇ (414.4)	428	Ber. Gef.	61.68 61.37	5.61 5.68
19c	<i>N</i> -[5-(Ethoxycarbonyl)-6,7-dihydro-3,4-bis(methoxy carbonyl)-7-methyl-2-oxepinyl]- <i>N'</i> -phenyl-	80 210 - 220	C ₂₁ H ₂₂ N ₂ O ₇ (400.4)	414	Ber. Gef.	60.87 60.69	5.31 5.44
19d	<i>N</i> -[5-(Ethoxycarbonyl)-6,7-dihydro-3,4-bis(methoxy carbonyl)-2-oxepinyl]- <i>N'</i> -phenyl-	78 194 - 196	C ₂₀ H ₂₀ N ₂ O ₇ (396.4)	400	Ber. Gef.	60.00 60.39	5.00 5.10
19e	<i>N</i> -[5-(Ethoxycarbonyl)-6,7-dihydro-3-{methoxy-carbonyl}-7,7-dimethyl-2-oxepinyl]- <i>N'</i> -phenyl-	76 175 - 180	C ₂₀ H ₂₂ N ₂ O ₅ (370.4)	370	Ber. Gef.	64.86 64.70	5.94 5.99
19f	<i>N</i> -[5-(Ethoxycarbonyl)-6,7-dihydro-3-{methoxy-carbonyl}-6,7-dimethyl-2-oxepinyl]- <i>N'</i> -phenyl-	72 190 - 195	C ₂₀ H ₂₂ N ₂ O ₅ (370.4)	370	Ber. Gef.	64.86 64.66	5.94 6.03
19g	<i>N</i> -[5-(Ethoxycarbonyl)-6,7-dihydro-3-{methoxy-carbonyl}-7-methyl-2-oxepinyl]- <i>N'</i> -phenyl-	55 207 - 212	C ₁₉ H ₂₀ N ₂ O ₅ (356.4)	356	Ber. Gef.	64.04 63.38	5.62 5.62
19h	<i>N</i> -[5-Cyan-6,7-dihydro-3,4-bis(methoxycarbo-nyl)-7,7-dimethyl-2-oxepinyl]- <i>N'</i> -phenyl-	88 233 - 243	C ₂₀ H ₁₉ N ₃ O ₅ (381.4)	381	Ber. Gef.	62.99 63.19	4.99 5.28
19i	<i>N</i> -[5-Cyan-6,7-dihydro-3,4-bis(methoxycarbo-nyl)-6,7-dimethyl-2-oxepinyl]- <i>N'</i> -phenyl-	78 210 - 218	C ₂₀ H ₁₉ N ₃ O ₅ (381.4)	381	Ber. Gef.	62.99 62.53	4.99 4.95
19j	<i>N</i> -[5-Cyan-6,7-dihydro-3,4-bis(methoxycarbo-nyl)-7-methyl-2-oxepinyl]- <i>N'</i> -phenyl-	63 212 - 220	C ₁₉ H ₁₇ N ₃ O ₅ (367.4)	367	Ber. Gef.	62.13 61.53	4.63 4.68
19k	<i>N</i> -[5-Cyan-3-(ethoxycarbonyl)-6,7-dihydro-7-dimethyl-2-oxepinyl]- <i>N'</i> -phenyl-	70 200 - 210	C ₁₉ H ₁₉ N ₃ O ₃ (337.4)	337	Ber. Gef.	67.65 67.34	5.64 5.74
19l	<i>N</i> -[5-Cyan-3-(ethoxycarbonyl)-6,7-dihydro-6,7-dimethyl-2-oxepinyl]- <i>N'</i> -phenyl-	80 159 - 160	C ₁₉ H ₁₉ N ₃ O ₃ (337.4)	337	Ber. Gef.	67.65 66.54	5.64 5.50
19m	<i>N</i> -[5-Cyan-6,7-dihydro-3-(methoxy carbonyl)-7-methyl-2-oxepinyl]- <i>N'</i> -phenyl-	77 190 - 205	C ₁₇ H ₁₅ N ₃ O ₃ (309.3)	309	Ber. Gef.	66.02 65.67	4.84 4.83

Tab. 19. Analytische Daten von 20, 21a, b und 24b - d

Verb.	Name	Aust. [%] Schmp. [°C]	Summenformel (Molmasse)	Molmasse (MS)	C	Analyse H	N
20	<i>N</i> -[5-(Ethoxycarbonyl)-6,7-dihydro-3-(methoxy-carbonyl)-2-thienyl]- <i>N'</i> -phenylcarbodiimid	54 174 - 184	C ₁₈ H ₁₈ N ₂ O ₄ S (358.4)	358	Ber. Gef.	60.34 50.53	5.03 5.25
21a	<i>N</i> -[5-(Ethoxycarbonyl)-3,4-dihydro-7-(methoxy-carbonyl)-2-H-thiocin-8-yl]- <i>N'</i> -phenylcarbo-diimid	58 187 - 190	C ₁₉ H ₂₀ N ₂ O ₄ S (372.5)	372	Ber. Gef.	61.29 61.11	5.03 5.42
21b	<i>N</i> -[5-(Ethoxycarbonyl)-3,4-dihydro-6,7-bis(meth-oxy carbonyl)-2-H-thiocin-8-yl]- <i>N'</i> -phenylcarbo-diimid	54 178 - 180	C ₂₁ H ₂₂ N ₂ O ₆ S (430.5)	430	Ber. Gef.	58.60 58.88	5.12 5.31
24b	<i>N'</i> -[4-(Ethoxycarbonyl)-1-methyl-5-pyrazolyl]- <i>O</i> -ethyl- <i>N</i> -phenylisohartnott	73 122	C ₁₆ H ₂₀ N ₄ O ₃ (316.4)	316	Ber. Gef.	60.76 61.13	6.42 6.33
24c	<i>N'</i> -[4-(Ethoxycarbonyl)-1-phenyl-5-pyrazolyl]- <i>O</i> -ethyl- <i>N</i> -phenylisohartnott	65 135	C ₂₁ H ₂₂ N ₄ O ₃ (378.5)	378	Ber. Gef.	66.67 66.68	5.82 5.96
24d	<i>N'</i> -[4-(Ethoxycarbonyl)-1-phenyl-2,3-triazol-5-yl]- <i>O</i> -ethyl- <i>N</i> -phenylisohartnott	43 160	C ₂₀ H ₂₁ N ₅ O ₃ (379.4)	379	Ber. Gef.	63.31 62.88	5.58 5.68

Tab. 20. Analytische Daten von 25a, b, e, f, h

Verb.	Name	Aust. [%] Schmp. [°C]	Summenformel (Molmasse)	Molmasse (MS)	C	Analyse H	N
25a	1,2,3,4,7,8-Hexahydro-8-dimethyl-2,4-dioxo-3-phenyloepino[2,3- <i>d</i>]pyrimidin-5,6-dicarbon-säure-6-ethylester-5-methylester	70 237	C ₂₁ H ₂₂ N ₂ O ₇ (414.4)	414	Ber. Gef.	60.87 60.96	5.31 5.32
25b	1,2,3,4,7,8-Hexahydro-7,8-dimethyl-2,4-dioxo-3-phenyloepino[2,3- <i>d</i>]pyrimidin-5,6-dicarbon-säure-6-ethylester-5-methylester	88 235	C ₂₁ H ₂₂ N ₂ O ₇ (414.4)	414	Ber. Gef.	60.87 60.68	5.31 5.42
25e	1,2,3,4,7,8-Hexahydro-8-dimethyl-2,4-dioxo-3-phenyloepino[2,3- <i>d</i>]pyrimidin-6-carbonsäure-ethylester	80 200	C ₁₉ H ₂₀ N ₂ O ₅ (356.4)	356	Ber. Gef.	64.04 63.90	5.62 5.86
25f	1,2,3,4,7,8-Hexahydro-7,8-dimethyl-2,4-dioxo-3-phenyloepino[2,3- <i>d</i>]pyrimidin-6-carbonsäure-ethylester	83 234	C ₁₉ H ₂₀ N ₂ O ₅ (356.4)	356	Ber. Gef.	64.04 63.38	5.62 5.60
25h	6-Cyan-1,2,3,4,7,8-hexahydro-8-dimethyl-2,4-dioxo-3-phenyloepino[2,3- <i>d</i>]pyrimidin-5-carbonsäure-methylester	74 230	C ₁₉ H ₁₇ N ₃ O ₅ (367.4)	367	Ber. Gef.	62.13 62.32	4.63 4.97

Tab. 21. Analytische Daten von 31a–c, e–h und 34

Verb.	Name	Ausb. [%] Schmp. [°C]	Summenformel (Molmasse)	Molmasse (MS)	C	H	N	Analyse
31a	3,4,7,8-Tetrahydro-2-(isopropylamino)-8,8-dimethyl-4-oxo-3-phenyloxepino[2,3- <i>d</i>]pyrimidin-5,6-dicarbonsäure-6-ethylester-5-methylester	85 185	C ₂₄ H ₂₉ N ₃ O ₆ (455.5)	455	Ber. Gef.	63.30 63.20	6.37 6.43	9.23 9.17
31b	3,4,7,8-Tetrahydro-2-(isopropylamino)-7,8-dimethyl-4-oxo-3-phenyloxepino[2,3- <i>d</i>]pyrimidin-5,6-dicarbonsäure-6-ethylester-5-methylester	82 195	C ₂₄ H ₂₉ N ₃ O ₆ (455.5)	455	Ber. Gef.	63.30 63.37	6.37 6.39	9.23 8.99
31c	3,4,7,8-Tetrahydro-2-(isopropylamino)-8-methyl-4-oxo-3-phenyloxepino[2,3- <i>d</i>]pyrimidin-5,6-dicarbonsäure-6-ethylester-5-methylester	58 173	C ₂₃ H ₂₇ N ₃ O ₆ (441.5)	441	Ber. Gef.	62.59 62.36	6.12 6.14	9.52 9.88
31e	3,4,7,8-Tetrahydro-2-(isopropylamino)-8,8-dimethyl-4-oxo-3-phenyloxepino[2,3- <i>d</i>]pyrimidin-6-carbonsäure-ethylester	79 162	C ₂₂ H ₂₇ N ₃ O ₄ (397.5)	397	Ber. Gef.	66.50 64.44	6.80 6.73	10.58 10.50
31f	3,4,7,8-Tetrahydro-2-(isopropylamino)-7,8-dimethyl-4-oxo-3-phenyloxepino[2,3- <i>d</i>]pyrimidin-6-carbonsäure-ethylester	81 220	C ₂₂ H ₂₇ N ₃ O ₄ (397.5)	397	Ber. Gef.	66.50 63.95	6.80 6.75	10.58 10.52
31g	3,4,7,8-Tetrahydro-2-(isopropylamino)-8-methyl-4-oxo-3-phenyloxepino[2,3- <i>d</i>]pyrimidin-6-carbonsäure-ethylester	93 195	C ₂₁ H ₂₅ N ₃ O ₄ (383.5)	383	Ber. Gef.	65.80 65.02	6.53 6.53	10.97 10.75
31h	6-Cyan-3,4,7,8-tetrahydro-2-(isopropylamino)-8,8-dimethyl-4-oxo-3-phenyloxepino[2,3- <i>d</i>]pyrimidin-5-carbonsäure-ethylester	90 172	C ₂₂ H ₂₄ N ₄ O ₄ (408.5)	408	Ber. Gef.	64.71 64.28	5.88 5.92	13.73 13.31
34	3,7,8,9-Tetrahydro-2-(isopropylamino)-4-oxo-3-phenyl-4 <i>H</i> -thiocino[2,3- <i>d</i>]pyrimidin-6-carbonsäure-ethylester	55 170 – 172	C ₂₁ H ₂₅ N ₃ O ₃ S (399.5)	399	Ber. Gef.	63.16 62.90	6.27 6.41	10.53 10.59

Tab. 22. Analytische Daten von 33f, g und 36a - f

Verb.	Name	Ausb. [%] Schmp. [°C]	Summenformel (Molmasse)	Molmasse (MS)	C	H	N
33f	Diethylammoniumsalz des 1,2,3,4,7,8-Hexahydro-7,8-dimethyl-2,4-dioxo-3-phenyloxepino-[2,3- <i>d</i>]pyrimidin-6-carbonsäure-ethylesters	70 228 - 231	C ₂₃ H ₂₂ N ₃ O ₅ (429.5)	355 (Anion)	Ber. Gef.	64.34 64.04	7.23 7.29
33g	Diethylammoniumsalz des 1,2,3,4,7,8-Hexahydro-8-methyl-2,4-dioxo-3-phenyloxepino[2,3- <i>d</i>]pyrimidin-6-carbonsäure-ethylesters	69 219 - 221	C ₂₂ H ₂₉ N ₃ O ₅ (415.5)	341 (Anion)	Ber. Gef.	63.61 63.86	6.99 6.13
36a	3,4,7,8-Tetrahydro-2-(2-hydroxyethylamino)-7,8-dimethyl-4-oxo-3-phenyloxepino[2,3- <i>d</i>]pyrimidin-5,6-dicarbonsäure-6-ethylester-5-methylester	38 207 - 209	C ₂₃ H ₂₇ N ₃ O ₇ (457.5)	457	Ber. Gef.	60.39 60.37	5.91 6.00
36b	3,4,7,8-Tetrahydro-2-(2-hydroxyethylamino)-7,8-dimethyl-4-oxo-3-phenyloxepino[2,3- <i>d</i>]pyrimidin-6-carbonitril	74 165 - 166	C ₁₉ H ₂₆ N ₄ O ₃ (352.4)	352	Ber. Gef.	64.77 63.91	5.68 5.70
36c	3,4,7,8-Tetrahydro-2-(3-hydroxypropylamino)-7,8-dimethyl-4-oxo-3-phenyloxepino[2,3- <i>d</i>]pyrimidin-6-carbonsäure-ethylester	42 240 - 242	C ₂₂ H ₂₇ N ₃ O ₅ (413.6)	413	Ber. Gef.	63.92 63.03	6.54 6.55
36d	3,4,7,8-Tetrahydro-2-(3-hydroxypropylamino)-7,8-dimethyl-4-oxo-3-phenyloxepino[2,3- <i>d</i>]pyrimidin-6-carbonitril	69 175 - 176	C ₂₀ H ₂₂ N ₄ O ₃ (366.4)	366	Ber. Gef.	62.30 57.63	5.46 5.23
36e	2-(2-Aminothiylamino)-3,4,7,8-tetrahydro-8,8-dimethyl-4-oxo-3-phenyloxepino[2,3- <i>d</i>]pyrimidin-5,6-dicarbonsäure-6-ethylester-5-methylester	43 173 - 175	C ₂₃ H ₂₈ N ₄ O ₆ (456.5)	456	Ber. Gef.	60.53 59.24	6.14 6.10
36f	2-(2-Aminothiylamino)-3,4,7,8-tetrahydro-7,8-dimethyl-4-oxo-3-phenyloxepino[2,3- <i>d</i>]pyrimidin-5,6-dicarbonsäure-6-ethylester-5-methylester	46 180	C ₂₃ H ₂₈ N ₄ O ₆ (456.5)	456	Ber. Gef.	60.53 59.81	6.14 6.23

Allgemeine Vorschrift zur Darstellung der Addukte 11a, b: 2.0 g (4.8 mmol) **10a** werden in 50 ml Acetonitril gelöst und in der Siedehitze langsam mit einer Lösung von 4.8 mmol Propioläure-methylester (0.4 g) bzw. Acetylendicarbonsäure-dimethylester (0.7 g) in 20 ml Acetonitril versetzt. Nach 1 h Rückflußsieden wird das Solvens verdampft und der Rückstand in Ethanol aufgenommen. Nach kurzem Stehenlassen fallen die Produkte aus und werden durch Auskochen in Ethanol gereinigt (siehe Tab. 17).

Allgemeine Vorschrift zur Darstellung der Ylide 13a, b: Äquimolare Mengen **8a, b** (10.3 mmol = 5.0 g **8a**; 11.4 mmol = 5.0 g **8b**) und Acetylendicarbonsäure-dimethylester (10.3 mmol = 1.5 g; 11.4 mmol = 1.62 g) werden in 50 ml Acetonitril zum Rückflußsieden erhitzt, wobei sich das Reaktionsgemisch dunkelrot färbt. Nach ca. 40 h wird mit DC kein Ausgangsmaterial mehr nachgewiesen. Man verdampft das Solvens und nimmt den Rückstand in Ethanol auf. Nach kurzem Stehenlassen fallen die blaßgelben Produkte aus und werden aus Ethanol umkristallisiert (siehe Tab. 17).

Allgemeine Vorschrift zur Darstellung der Carbodiimide 19a – m, 20 und 21a, b: 5.0 g des entsprechenden Iminophosphorans werden unter Inertgas (Argon) in 100 ml Benzol gelöst, mit der äquivalenten Menge Phenylisocyanat versetzt und 5 h zum Rückflußsieden erhitzt. Sodann wird das Lösungsmittel verdampft und das zurückbleibende Öl in Ethanol aufgenommen. Nach einigem Stehenlassen in der Kälte fällt allmählich ein farbloses Produkt aus, das aus absol. Ethanol umkristallisiert wird (siehe Tab. 18 und 19).

Darstellung der O-Ethylisoharnstoffe 24b – d: 5.0 g der Iminophosphorane **10b – d** werden gemäß vorstehender Vorschrift mit Phenylisocyanat umgesetzt. Mit überschüssigem Ethanol reagieren die primär anfallenden Carbodiimide sogleich zu **24b – d** weiter (siehe Tab. 19).

Allgemeine Vorschrift zur Darstellung der Oxepino[2,3-d]pyrimidine 25a, b, e, f, h: Jeweils 2.0 g der Carbodiimide **19a, b, e, f, h** werden in 50 ml wäßrigem Ethanol gelöst und mit 3–4 Tropfen konz. Chlorwasserstoffsäure versetzt. Dann wird 4 h zum Rückflußsieden erhitzt. Nach Einengen und Erkalten fallen **25a, b, e, f, h** als farblose Produkte aus und werden aus Ethanol umkristallisiert (siehe Tab. 20).

Allgemeine Vorschrift zur Darstellung der 2-(Isopropylamino)oxtepino- bzw. -thiocino[2,3-d]-pyrimidine 31a – c, e – h bzw. 34: Jeweils 2.0 g der Carbodiimide **19a – c, e – h** bzw. **21a** werden in überschüssigem Isopropylamin gelöst und 2 h zum Rückflußsieden erhitzt. Dann entfernt man das überschüssige Amin i. Vak. und nimmt den Rückstand in Ethanol auf. Umkristallisation aus Ethanol (siehe Tab. 21).

Salzbildung der Carbodiimide 19f, g in wäßrigem Diethylamin: Je 2.0 g der Carbodiimide **19f, g** werden mit einem Überschuß an wäßrigem Diethylamin 2 h zum Rückflußsieden erhitzt. Anschließend wird das überschüssige Amin i. Vak. entfernt und der Rückstand in Ethanol aufgenommen. Die Salze **33f, g** fallen als farblose Pulver an (siehe Tab. 22).

Allgemeine Vorschrift zur Darstellung der (Hydroxyalkyl)pyrimidine 36a – d: Je 2.0 g der Carbodiimide **19b, f, l** werden in 30 ml absol. Ethanol gelöst, mit 4 ml 2-Aminoethanol bzw. 3-Aminopropanol versetzt und 4 h zum Rückflußsieden erhitzt, wobei sich das Reaktionsgemisch gelblich-rot verfärbt. Dann wird das Lösungsmittel verdampft und das zurückbleibende Öl in Ethanol/Wasser aufgenommen. Durch Umkristallisieren aus Ethanol/Wasser erhält man **36a, c** als farblose Produkte, während **36b, d** gelb sind (siehe Tab. 22).

Allgemeine Vorschrift zur Darstellung der (Aminoalkyl)pyrimidine 36e, f: 2.0 g der Carbodiimide **19a, b** werden in 30 ml Ethylen diamin 3 h zum Rückflußsieden erhitzt. Anschließend wird das überschüssige Amin verdampft und der verbleibende Rückstand in Ethanol/Wasser aufgenommen. Umkristallisation aus Ethanol/Wasser ergibt **36e, f** als farblose Produkte (siehe Tab. 22).

Tab. 23. Analytische Daten von **38a–h**, **39** und der Azide **40b,d**

Verb.	Name	Ausb. [%] Schmp. [°C]	Summenformel (Molmasse)	Molmasse (MS)	C	Analyse H N
38a	2-Hydrazino-3,4,7,8-tetrahydro-7,8-dimethyl-4-oxo-3-phenyloxepino[2,3- <i>d</i>]pyrimidin-5,6-dicarbonsäure-6-ethylester-5-methylester	75 172 – 175	C ₂₁ H ₂₄ N ₄ O ₆ (428.5)	428	Ber. Gef.	58.88 57.91 5.74 12.94
38b	2-Hydrazino-3,4,7,8-tetrahydro-7,8-dimethyl-4-oxo-3-phenyloxepino[2,3- <i>d</i>]pyrimidin-6-carbonsäure-ethylester	67 140 – 144	C ₁₉ H ₂₂ N ₄ O ₄ (370.4)	370	Ber. Gef.	61.62 61.38 5.95 6.03 15.14 14.86
38c	2-Hydrazino-3,4,7,8-tetrahydro-8-methyl-4-oxo-3-phenyloxepino[2,3- <i>d</i>]pyrimidin-6-carbonsäure-ethylester	74 238 – 242	C ₁₈ H ₂₀ N ₄ O ₄ (356.4)	356	Ber. Gef.	60.67 59.94 5.62 5.68 15.73 15.70
38d	6-Cyan-2-hydrazino-3,4,7,8-tetrahydro-8,8-dimethyl-4-oxo-3-phenyloxepino[2,3- <i>d</i>]pyrimidin-5-carbonsäure-methylester	81 >300	C ₉ H ₁₉ N ₃ O ₄ (381.4)	381	Ber. Gef.	59.84 59.46 4.99 5.11 18.37 18.34
38e	6-Cyan-2-hydrazino-3,4,7,8-tetrahydro-7,8-dimethyl-4-oxo-3-phenyloxepino[2,3- <i>d</i>]pyrimidin-5-carbonsäure-methylester	67 245 – 248	C ₁₀ H ₁₉ N ₅ O ₄ (381.4)	381	Ber. Gef.	59.84 59.12 4.99 4.96 18.37 18.12
38f	6-Cyan-2-hydrazino-3,4,7,8-tetrahydro-8-methyl-4-oxo-3-phenyloxepino[2,3- <i>d</i>]pyrimidin-5-carbonsäure-methylester	67 >300	C ₁₈ H ₁₇ N ₅ O ₄ (367.4)	367	Ber. Gef.	58.86 56.45 4.63 4.56 19.07 19.28
38g	2-Hydrazino-3,4,7,8-tetrahydro-8,8-dimethyl-4-oxo-3-phenyloxepino[2,3- <i>d</i>]pyrimidin-6-carbonitril	71 210 – 214	C ₁₇ H ₁₇ N ₅ O ₂ (323.4)	323	Ber. Gef.	63.16 63.19 5.26 5.42 21.67 21.86
38h	2-Hydrazino-3,4,7,8-tetrahydro-7,8-dimethyl-4-oxo-3-phenyloxepino[2,3- <i>d</i>]pyrimidin-6-carbonitril	81 >300	C ₁₇ H ₁₇ N ₅ O ₂ (323.4)	323	Ber. Gef.	63.16 63.26 5.26 5.39 21.67 21.68
39	2-Hydrazino-3,4,7,8-tetrahydro-4-oxo-3-phenylthiepino[2,3- <i>d</i>]pyrimidin-6-carbonsäure-ethylester	67 225 – 227	C ₇ H ₁₈ N ₄ O ₃ S (358.4)	358	Ber. Gef.	56.98 56.56 5.03 4.99 15.64 15.73
40b	2-Azido-3,4,7,8-tetrahydro-7,8-dimethyl-4-oxo-3-phenyloxepino[2,3- <i>d</i>]pyrimidin-6-carbonsäure-ethylester	65 170 – 171	C ₁₀ H ₁₉ N ₅ O ₄ (381.4)	381	Ber. Gef.	59.84 59.73 4.99 5.16 18.37 18.26
40d	2-Azido-6-cyan-3,4,7,8-tetrahydro-8,8-dimethyl-4-oxo-3-phenyloxepino[2,3- <i>d</i>]pyrimidin-5-carbonsäure-methylester	69 194 – 197	C ₁₀ H ₁₆ N ₆ O ₄ (392.4)	392	Ber. Gef.	58.16 57.84 4.11 4.14 21.42 20.53

Tab. 24. Analytische Daten von 43a - d, 45'a, b und der Carbazate 46a, b

Verb.	Name	Ausb. [%] Schmp. [°C]	Summenformel (Molmasse)	Molmasse (MS)	C	H	N	Analyse
43 a	4,5,8,9-Tetrahydro-8,9-dimethyl-5-oxo-4-phenyl-[1,2,4]triazolo[3,2- <i>b</i>]oxepino[2,3- <i>d</i>]pyrimidin-6,7-dicarbonsäure-7-ethylester-6-methylester	83 233 - 235	C ₂₂ H ₂₂ N ₄ O ₆ (438.4)	438	Ber. Gef.	60.27 59.25	5.02 4.93	12.79 12.64
43 b	4,5,8,9-Tetrahydro-8,9-dimethyl-5-oxo-4-phenyl-[1,2,4]triazolo[3,2- <i>b</i>]oxepino[2,3- <i>d</i>]pyrimidin-7-carbonsäure-ethylester	81 159 - 160	C ₂₀ H ₂₀ N ₄ O ₄ (380.4)	380	Ber. Gef.	63.16 60.48	5.26 5.45	14.74 14.22
43 c	4,5,8,9-Tetrahydro-8,9-dimethyl-5-oxo-4-phenyl-[1,2,4]triazolo[3,2- <i>b</i>]oxepino[2,3- <i>d</i>]pyrimidin-7-carbonitril	89 212 - 213	C ₁₈ H ₁₅ N ₅ O ₂ (333.4)	333	Ber. Gef.	64.86 63.24	4.50 4.36	21.02 20.81
43 d	4,5,8,9-Tetrahydro-9-methyl-5-oxo-4-phenyl-[1,2,4]triazolo[3,2- <i>b</i>]thiopheno[2,3- <i>d</i>]pyrimidin-7-carbonsäure-ethylester	87 210 - 214	C ₁₈ H ₁₆ N ₄ O ₅ (368.4)	368	Ber. Gef.	58.70 57.40	4.35 4.42	15.22 15.05
45'a	4,5,8,9-Tetrahydro-2,8,9-trimethyl-5-oxo-4-phenyl[1,2,4]triazolo[3,2- <i>b</i>]oxepino[2,3- <i>d</i>]pyrimidin-7-carbonsäure-ethylester	67 205 - 208	C ₂₁ H ₂₂ N ₄ O ₄ (394.5)	394	Ber. Gef.	63.96 61.66	5.58 5.86	14.21 13.79
45'b	4,5,8,9-Tetrahydro-2,9-dimethyl-5-oxo-4-phenyl-[1,2,4]triazolo[3,2- <i>b</i>]oxepino[2,3- <i>d</i>]pyrimidin-7-carbonsäure-ethylester	70 134 - 145	C ₂₀ H ₂₀ N ₄ O ₄ (380.4)	380	Ber. Gef.	63.16 62.97	5.26 5.20	14.74 14.69
46 a	2-[2-(Ethoxycarbonyl)hydrazino]-3,4,7,8-tetrahydro-7,8-dimethyl-4-oxo-3-phenyloxepino-[2,3- <i>d</i>]pyrimidin-6-carbonsäure-ethylester	78 240 - 245	C ₂₂ H ₂₆ N ₄ O ₆ (442.4)	442	Ber. Gef.	59.73 59.63	5.88 6.03	12.67 12.43
46 b	6-Cyan-2-[2-(ethoxycarbonyl)hydrazino]-3,4,7,8-tetrahydro-7,8-dimethyl-4-oxo-3-phenyloxepino[2,3- <i>d</i>]pyrimidin-5-carbonsäure-methylester	84 255 - 258	C ₂₂ H ₂₃ N ₅ O ₆ (453.5)	453	Ber. Gef.	58.23 57.72	5.08 5.19	15.45 15.30

Allgemeine Vorschrift zur Darstellung der 2-Hydrazinopyrimidine 38a – h und 39: Je 2.0 g der Carbodiimide 19b, f – l und 20 werden in 30 ml Ethanol mit 2 ml Hydrazinhydrat versetzt und 3 h zum Rückflußsieden erhitzt. Dann wird das Lösungsmittel verdampft, der Rückstand in Ethanol aufgenommen und umkristallisiert (siehe Tab. 23).

Darstellung der Azidopyrimidine 40b, d: Je 2.0 g der 2-Hydrazinopyrimidine 38b, d werden in 40 ml halbkonz. Chlorwasserstoffsäure suspendiert. Anschließend werden bei 0 – 5 °C 500 mg Natriumnitrit, in 30 ml Wasser gelöst, zugetropft und bei Raumtemp. 6 h weitergeführt. Der ausgefallene Niederschlag wird abfiltriert und aus Ethanol/Wasser umkristallisiert (siehe Tab. 23).

Allgemeine Vorschrift zur Darstellung der Triazolopyrimidine 43a – d

Methode A): Mit Orthoameisensäure-triethylester: 1.0 g der Hydrazinopyrimidine 38a, b, h, 39 wird mit 30 ml Orthoameisensäure-triethylester versetzt und 3 h zum Rückflußsieden erhitzt. Dann wird der überschüssige Ester i. Vak. entfernt und der Rückstand in Ethanol aufgenommen und umkristallisiert (siehe Tab. 24).

Methode B): Mit Ameisensäure: Ähnlich der vorstehenden Vorschrift wird 1.0 g des jeweiligen 2-Hydrazinopyrimidins mit 30 ml 98proz. Ameisensäure 4 h zum Rückflußsieden erhitzt. Die überschüssige Ameisensäure wird anschließend entfernt und der Rückstand in Wasser aufgenommen. Das Produkt wird abfiltriert und aus Ethanol/Wasser umkristallisiert (siehe Tab. 24).

Allgemeine Vorschrift zur Darstellung der Triazolopyrimidine 45'a, b: 1.0 g der 2-Hydrazinopyrimidine 38b, c wird mit 30 ml Orthoessigsäure-triethylester 4 h zum Rückflußsieden erhitzt. Der überschüssige Ester wird sodann i. Vak. entfernt und der Rückstand in Ethanol aufgenommen. Die ausgefallenen Produkte 45'a, b werden abfiltriert und aus Ethanol umkristallisiert (siehe Tab. 24).

Darstellung der Carbazate 46a, b: Je 1.0 g Hydrazinopyrimidin 38b, e wird mit überschüssigem Chlorameisensäure-ethylester zum Rückflußsieden erhitzt. Nach dem Erkalten fallen die Reaktionsprodukte als farblose Niederschläge aus und werden aus Ethanol umkristallisiert. Auch weiteres mehrstündigtes Erhitzen ergibt keine kondensierten Produkte; man erhält wiederum 46a, b (siehe Tab. 24).

- 1) 30. Mitteil.: *H. Wamhoff, G. Haffmanns und H. Schmidt*, Chem. Ber. **116**, 1691 (1983). – Zugleich 6. Mitteil. der Reihe: Heterocyclensynthesen mit Dihalogentriphenylphosphoranen; 5. Mitteil.: Lit. 1).
- 2) Aus der Dissertation *G. Haffmanns*, Univ. Bonn 1982.
- 3) *D. N. Reinhoudt und C. G. Lelielveld*, Tetrahedron Lett. **1972**, 3119; *D. N. Reinhoudt und C. G. Kouwenhoven*, Rec. Trav. Chim. Pays-Bas **92**, 865 (1973).
- 4) *H. Wamhoff, H. W. Dürbeck und P. Sohár*, Tetrahedron **27**, 5873 (1971).
- 5) *H. Wamhoff und G. Hendrikx*, Chem. Ber., in Vorbereitung; *G. Hendrikx* Dissertation, Univ. Bonn 1983.
- 6) Vgl. *D. N. Reinhoudt*, Adv. Heterocycl. Chem. **21**, 253 (1977); *Rec. Roy. Neth. Chem. Soc.* **101**, 277 (1982); *I. Murata und K. Nakasugi*, Top. Curr. Chem. **97**, 35 (1981); *D. N. Reinhoudt und C. G. Kouwenhoven*, J. Chem. Soc., Chem. Commun. **1972**, 1233; *Tetrahedron* **30**, 2093 (1974); *D. N. Reinhoudt, W. P. Trompenaars und J. Geevers*, Synthesis **1978**, 368.
- 7) Vgl. *R. Appel und M. Halstenberg*, in *J. I. G. Cadogan* (ed.), Organophosphorus Reagents in Organic Synthesis, S. 387 ff., Academic Press Inc., London 1979, und dort zit. Lit.
- 8) *G. A. Gray*, J. Am. Chem. Soc. **95**, 5092, 7736 (1973).
- 9) *G. W. Brown, R. C. Cookson, D. R. Stevens, T. C. W. Mack und J. Trotter*, Proc. Chem. Soc., London **1964**, 87; *G. W. Brown, R. C. Cookson und I. D. R. Stevens*, Tetrahedron Lett. **1964**, 1263.
- 10) *H. Staudinger und E. Hauser*, Helv. Chim. Acta **4**, 861 (1921).

- ¹¹⁾ L. Horner und H. Hofmann, Angew. Chem. **68**, 473 (1956); vgl. F. Kurzer und K. Dourághí-Zadeh, Chem. Rev. **67**, 107 (1967).
- ¹²⁾ Vgl. S. Petersen in Methoden der organischen Chemie (Houben-Weyl-Müller), 4. Aufl., Bd. 8, S. 192 ff., Thieme, Stuttgart 1952.
- ¹³⁾ Vgl. E. A. Anet und J. Yvari, Org. Magn. Reson. **8**, 327 (1976).
- ¹⁴⁾ J. H. Boyer und P. J. A. Frints, J. Heterocycl. Chem. **7**, 59, 71 (1970); K. Lémpert, J. Puskas und L. Imre, Acta Chim. Acad. Sci. Hung. **60**, 409 (1969); I. Ruppert, Angew. Chem. **89**, 336 (1977); Angew. Chem., Int. Ed. Engl. **16**, 311 (1977).
- ¹⁵⁾ F. Lengfeld und J. Stieglitz, Ber. Dtsch. Chem. Ges. **27**, 926 (1894); E. Däbritz, Angew. Chem. **78**, 483 (1966); Angew. Chem., Int. Ed. Engl. **5**, 470 (1966).
- ¹⁶⁾ Vgl. H. Wamhoff, in R. N. Castle und S. W. Schneller (eds.), Lectures in Heterocyclic Chemistry, Vol. V, S. 61 ff., Heterocorporation, Orem/Utah 1980, und dort zit. Lit.
- ¹⁷⁾ S. Senda und K. Hirota, Yakugaku Zasshi **91**, 1367 (1971) [Chem. Abstr. **76**, 126905m (1972)].
- ¹⁸⁾ P. D. Ellis, R. B. Dunlap, A. L. Pollard, K. Seidman und A. D. Cardin, J. Am. Chem. Soc. **95**, 4398 (1973).
- ¹⁹⁾ S. P. Singh, S. S. Parmar, V. I. Stenberg und T. K. Akers, J. Heterocycl. Chem. **15**, 53 (1978).
- ^{20a)} F. Zetsche und G. Voigt, Ber. Dtsch. Chem. Ges. **74**, 183 (1941). – ^{20b)} F. Kurzer und P. M. Sanderson, J. Chem. Soc. **1960**, 3240. – ^{20c)} C. S. Skötsch und E. Breitmaier, Chem. Ber. **111**, 2003 (1978).
- ²¹⁾ Vgl. E. Enders in Methoden der organischen Chemie (Houben-Weyl-Müller), 4. Aufl., Bd. X/2, S. 521 ff., Thieme, Stuttgart 1967.
- ²²⁾ M. Tišler, Synthesis **1973**, 123; H. Reimlinger, Chem. Ber. **103**, 1900 (1970).
- ²³⁾ F. Sauter und W. Deinhammer, Monatsh. Chem. **105**, 558 (1974).
- ²⁴⁾ Vgl. D. J. Brown, in B. S. Thyagarajan (ed.), Mechanisms of Molecular Migrations, Vol. I, S. 209, Wiley-Interscience, New York 1968.
- ²⁵⁾ G. W. Miller und F. L. Rose, J. Chem. Soc. **1963**, 5642; J. A. Bee und F. L. Rose, J. Chem. Soc. C **1966**, 2031.
- ²⁶⁾ K. T. Potts und E. G. Brugel, J. Org. Chem. **35**, 3448 (1970).
- ²⁷⁾ C. J. Shishoo, M. B. Devani, G. V. Ullas, S. Ananthan und V. S. Bhadti, J. Heterocycl. Chem. **18**, 43 (1981).
- ²⁸⁾ K. Kottke und H. Kühmstedt, Pharmazie **33**, 125 (1978).

[135/83]